Document de travail

Notes et analyses de l'ITCEQ

N° 54 - Mai 2017

Quelle sera l'espérance de vie des tunisiens en 2039?

Sawsen Ben NASR



La présente note est la propriété de l'Institut Tunisien de la Compétitivité et des Études Quantitatives (ITCEQ). Toute reproduction ou représentation, intégrale ou partielle, par quelque procédé que ce soit, de la présente publication, faite sans l'autorisation écrite de l'ITCEQ est considérée comme illicite et constitue une contrefaçon.

Les résultats, interprétations et conclusions émises dans cette publication sont celles de l'auteur et ne devraient pas être attribués à l'ITCEQ, à sa Direction ou aux autorités de tutelle.

Cette note est réalisée dans le cadre du programme d'activité de l'ITCEQ au sein de la Direction Centrale de la Synthèse et Modélisation et sous la supervision de Mr. Nejib Bouslama.

Sommaire

Resume	2
Introduction	3
L'espérance de vie en Tunisie : une comparaison internationale	4
Classement de la Tunisie en espérance de vie à la naissance	4
2. Le gain en espérance de vie	5
3. La santé de la mère et de l'enfant	6
4. Les dépenses de santé	8
5. Richesse et espérance de vie : un rendement décroissant	8
II. Le profil de la mortalité en Tunisie	9
1. La transmission épidémiologique en Tunisie	9
2. Evolution de l'espérance de vie en Tunisie : Un avantage féminin continu 1	1
3. Mortalité et morbidité par âge : d'où vient le gain en espérance de vie ? 1	2
4. La santé en Tunisie s'améliore, mais les inégalités régionales persistent 1	5
III. Elaboration des tables de mortalité prospectives pour la Tunisie 1	6
1. Le modèle de Lee et Carter	6
2. Application à la Tunisie1	8
IV. Résultats2	6
Références bibliographiques3	0

Liste des tableaux

Tableau I-1: Gain en espérance de vie entre 1990 et 2014	4
Tableau II-1 : Estimation des taux de mortalité endogène, exogène et infantile L'entre 196	5 et
2009 par la méthode de Bourgeois-Pichat	13
Tableau II-2 : Taux de mortalité des enfants âgés de moins de 5 ans par milieu (‰)	16
Tableau III-1: taux de couverture estimés	
Tableau III-2 : Paramètres estimés du modèle Lee et Carter	
Tableau IV-1 : Espérance de vie par genre projetée de 2004 à 2039	26
<u>Liste des figures</u>	
Figure II-1 : Evolution de la surmortalité masculine par groupe d'âge entre 19	968
et 2010	11
Figure II-2: Contribution des différents groupes d'âges quinquennaux au gair	n
en espérance de vie à la naissance entre 1999 et 2009	14
Figure II-3 : Taux de mortalité infantile et nombre de lits d'hôpitaux pour 100	
habitants par gouvernorat en 2009	
Figure III-1 : Modèle de Heligman et Pollard	
Figure III-2 : Quotients de mortalité observés et ajustés en 2003	
Figure III-3 : Paramètre ALPHA estimé pour les hommes et les femmes	
Figure III-4 : Paramètre BETA estimé pour les hommes et les femmes	
Figure III-5 : Paramètre de la variable tendancielle K estimé pour les hommes	
les femmes	
Figure III-6 : Kf et Kh extrapolés.	
Figure IV-1 : Espérance de vie des hommes projetée de 2004 à 2039	
Figure IV-2 : Espérance de vie des femmes projetée de 2004 à 2039	27
Figure IV-3: Courbes de mortalité des hommes 1984, 2004 et 2024	29
Figure IV-4 : Courbes de mortalité des femmes 1984, 2004 et 2024	

خــــلاصة

تواجه البلاد التونسية، على غرار العديد من البلدان النامية، تهرما سكانيا نتيجة التحول الديمغرافي السريع الذي عرفته. ومن المنتظر أن تتفاقم هده الظاهرة خلال السنوات القادمة. وقد شهدت تونس ارتفاعا هاما في مؤمل الحياة عند الولادة و تصدرت، بالتالي، مراكز متقدمة بالنسبة للدول العربية لكنها مازالت متأخرة على المستوى الترتيب العالمي (82 سنة 2014).

ويمثل استشراف مؤمل الحياة بناءا على جداول الحياة المستقبلية محورا أساسيا في وضع تصورات مستقبلية حول متطلبات التتمية في تونس في مجال البني التحتية كما في قطاع الصحة و التأمينات الاجتماعية و برامج الشيخوخة.

Résumé

La Tunisie, à l'instar des pays en voie de développement, connaîtra un vieillissement de sa population et ce phénomène, hérité des suites de sa transition démographique rapide, continuera de s'amplifier au cours des prochaines années. L'évolution de la mortalité à la baisse, en particulier aux grands âges, y contribuera singulièrement, d'où l'importance d'en connaître l'évolution récente et à venir.

En Tunisie, l'espérance de vie a augmenté considérablement au cours des dernières décennies et le pays se classe systématiquement parmi les premiers pays au monde arabe mais reste encore loin au niveau mondial (82^{ème} en 2014).

Les analyses prospectives de mortalité conduisent à anticiper les évolutions futures des taux de décès aux différents âges. On propose le modèle de Lee-Carter un modèle stochastique de construction de tables prospectives.

Abstract

Tunisia, like the developing countries, will experience an aging population and this phenomenon inherited as a result of its rapid demographic transition, will continue to increase over the coming years. The evolution of mortality, especially at older ages, will help greatly, hence the importance of knowing the latest developments and future. It appears as imperative to focus on the recent and future evolution of life years gained through increased longevity.

In Tunisia, life expectancy has increased in recent decades and the country ranks consistently among the first countries in the Arab world but is still far in the world (82th).

Prospective analyzes of mortality lead to anticipate future changes in death rates at different ages. We propose a stochastic model building prospective tables, model Lee-Carter, where future mortality drift is anticipated based on past observations.

Introduction

En Tunisie, l'espérance de vie à la naissance a continué d'augmenter, reflétant une forte baisse des taux de mortalité à tous les âges. Ces gains de longévité peuvent être attribués à un certain nombre de facteurs, notamment à l'élévation des niveaux de vie, à l'amélioration de l'hygiène de vie et du niveau de l'éducation mais aussi à un meilleur accès aux services de santé. D'autres facteurs, tels que les progrès dans les domaines de l'alimentation, de l'assainissement et du logement, jouent également un rôle, en particulier dans les zones rurales.

En 2014, l'espérance de vie à la naissance pour l'ensemble de la population tunisienne a été en moyenne de 74.9 ans. Les femmes vivent en moyenne plus que les hommes, soit 77.4 ans contre 73.9 ans.

Durant la dernière décennie, le gain annuel moyen de la longévité, en Tunisie, était de 3.9 mois par an. Cependant, ce gain dépassait 8 mois en moyenne par an dans des pays voisins à l'instar de l'Algérie (8.4 mois) et du Maroc (9 mois).

La croissance relativement constante de l'espérance de vie à la naissance au cours de la décennie (1994-2014) résulte d'une contribution très contrastée de chacun des groupes d'âge aux gains enregistrés. Les gains d'espérance de vie sont plutôt générés par la diminution de la mortalité des personnes âgées, les gains après 60 ans expliquant 50 % de l'augmentation de l'espérance de vie des hommes et 40 % de celle des femmes. Le déclin de la mortalité infantile avait contribué de 20% à la durée de vie moyenne entre 1994 et 2014.

La poursuite de la progression de la durée de vie moyenne pour les prochaines décennies serait-elle le fruit d'un recul de la mortalité à tous les âges ? Quelles seront les causes de décès qui pèsent le plus dans la mortalité tunisienne ? Qu'elle sera enfin l'espérance de vie des tunisiens pour les deux sexes dans les décennies à venir?

Cette étude traite, dans une vision de prospective, les espérances de vie générationnelles qui résultent d'une lecture longitudinale des tables de mortalité transversales qui ont été projetées d'année en année pour la projection de la population. Cette lecture, qui suit l'avancement en âge des générations au cours du temps, permet de mieux évaluer ce que serait vraiment l'espérance de vie des générations futures, sur la base des hypothèses retenues.

Le modèle Lee-Carter a été appliqué sur une série des taux de mortalité corrigés de 1984 à 2004 afin d'établir les taux futurs de mortalité et construire par la suite les tables prospectives de mortalité.

Cette étude comporte trois grandes parties. La première partie est consacrée à une étude rétrospective de l'espérance de vie à la naissance en Tunisie tout en la comparant avec certains pays du monde. Le modèle de prévision utilisé est présenté dans la deuxième partie. Enfin, la troisième partie est consacrée à l'application du modèle.

I. L'espérance de vie en Tunisie : une comparaison internationale

1. Classement de la Tunisie en espérance de vie à la naissance

Parmi 189 pays du monde, la Tunisie a occupé, en 2014, le 82ème rang. Sur le continent africain, la Tunisie a été classée en première position avec une espérance de vie de 75,9 ans, suivie de l'Algérie (75,8) et du Maroc (74,3 ans).

S'agissant des pays arabes, elle se place au 6ème rang précédée par le Liban, la Jordanie, l'Emirats Arabes Unis, Oman et Bahreïn.

Au niveau mondial, ce sont les Japonais qui ont la plus longue espérance de vie au monde (83.6 ans), suivis par les Espagnols, les Suisses et les italiens. Parmi les pays qui ont complété le haut du classement, se retrouvent le Luxembourg et la Corée avec une espérance de vie supérieure à 82 ans.

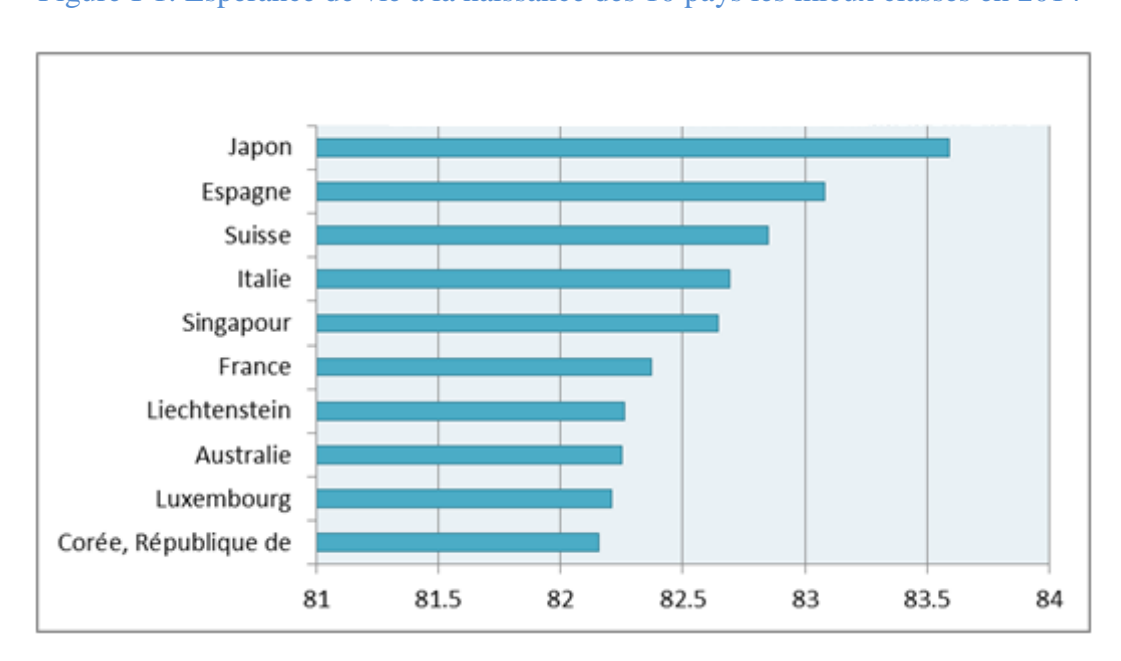


Figure I-1: Espérance de vie à la naissance des 10 pays les mieux classés en 2014

Source: Banque mondiale (Word Development Indicators)

Les pays ayant les plus faibles espérances de vie sont tous en Afrique sub-saharienne. Et c'est le Swaziland qui s'affiche dans le bas du classement avec une espérance de vie qui ne dépasse pas les 50 ans.

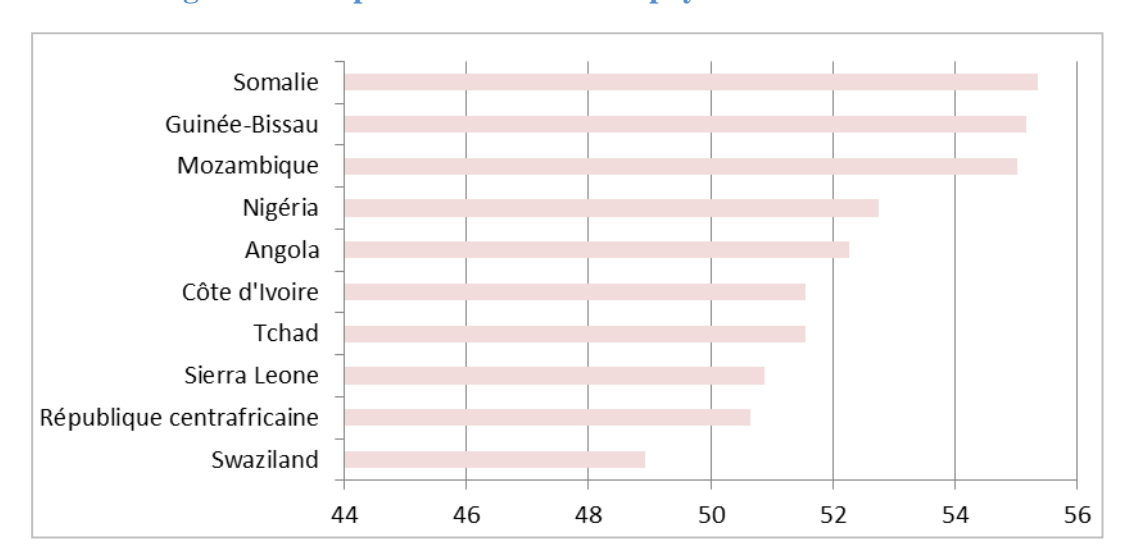


Figure I-2: Espérance de vie des 10 pays en bas de classement en 2014

Source: Banque mondiale(Word Development Indicators)

2. Le gain en espérance de vie

Plusieurs facteurs font que l'espérance de vie à la naissance est aujourd'hui plus longue que celle de quelqu'un né en 1990. Parmi ces facteurs, on recense les avancées médicales, la meilleure connaissance des substances dangereuses, l'éradication de certaines maladies.

La théorie prévoit une convergence vers un âge maximal que tous les pays devraient atteindre à terme. Néanmoins, on observe un creusement des inégalités entre certains pays les moins avancés et les pays développés. Les inégalités sur le plan économique, social, technologique et politique ont contribué à une divergence dans l'évolution de l'espérance de vie entre les pays développés et les pays pauvres.

Le gain annuel moyen en espérance de vie s'est développé en fonction des évolutions contextuelles sociales et économiques propres à chaque région du monde. Ce gain varie, entre 1990 et 2014, de 3.7 ans dans les pays de l'OCDE à revenu élevé à 11.6 ans dans les pays à revenu faible.

Tableau I-1 : Gain en espérance de vie entre 1990 et 2014

	Gain en espérance de vie (1990-2014)
Revenu élevé	4.8
Revenu élevé OCDE	3.7
Revenu élevé non OCDE	5.2
Revenu intermédiaire	6.7
Revenu intermédiaire, tranche supérieure	6.5
Revenu intermédiaire, tranche inférieure	7.6
Revenu faible	11.6

Source : Banque mondiale(Word Development Indicators)

Entre 1990 et 2014, l'espérance de vie a le plus progressé dans les pays pauvres, soit 11.6 ans en moyenne¹ contre une hausse moyenne, tous pays confondus, de 6 ans.

Les 5 pays dans le monde qui ont enregistré les plus fortes hausses de l'espérance de vie sont le Rwanda (+30.5 ans), suivi par le Malawi (+18.9 ans), le Niger (+17.5 ans), l'Ethiopie (+16.9 ans), et la Zambie (+15.7 ans).

A l'autre bout de l'échelle, l'espérance de vie a diminué dans 6 pays pour la même période aussi bien pour les femmes que les hommes. Il s'agit du Swaziland (-10.4 ans), du Lesotho (-9.63 ans), de l'Afrique du Sud (-4.93 ans), du Zimbabwe (-2.08 ans), de la Côte d'Ivoire (-1.04 ans) et de la République Arabe Syrienne (-0.035).

Pour la Tunisie, la durée moyenne de vie a augmenté de 4.6 ans entre 1990 et 2014, soit 2.3 mois en moyenne par an. L'espérance de vie des tunisiens est passée de 70.3 ans à 74.9 ans.

3. La santé de la mère et de l'enfant

Pour ce qui est du taux de mortalité infantile, pour l'année 2014, la Tunisie se place sur l'Afrique en deuxième position avec un taux de 16.3 pour 1000 naissances vivantes, précédée par la Libye avec un taux de 13.4‰, l'Algérie, quant à elle, se positionne au troisième rang (21.3‰) suivie par le Maroc (23.7‰).

Ces résultats satisfaisants dans l'ensemble ne sauraient occulter les écarts qui séparent encore la Tunisie des autres pays développés. En 2014, le Singapour est classé au 7ème rang avec une mortalité infantile qui ne dépasse guère 2.1‰, devancé par la Norvège, la Suède, Chypre et enfin le Luxembourg qui se positionne en tête de classement (1.5‰).

__

¹ Chiffres publiés dans les statistiques annuelles sur la santé mondiale, compilés par l'Organisation mondiale de la santé (OMS).

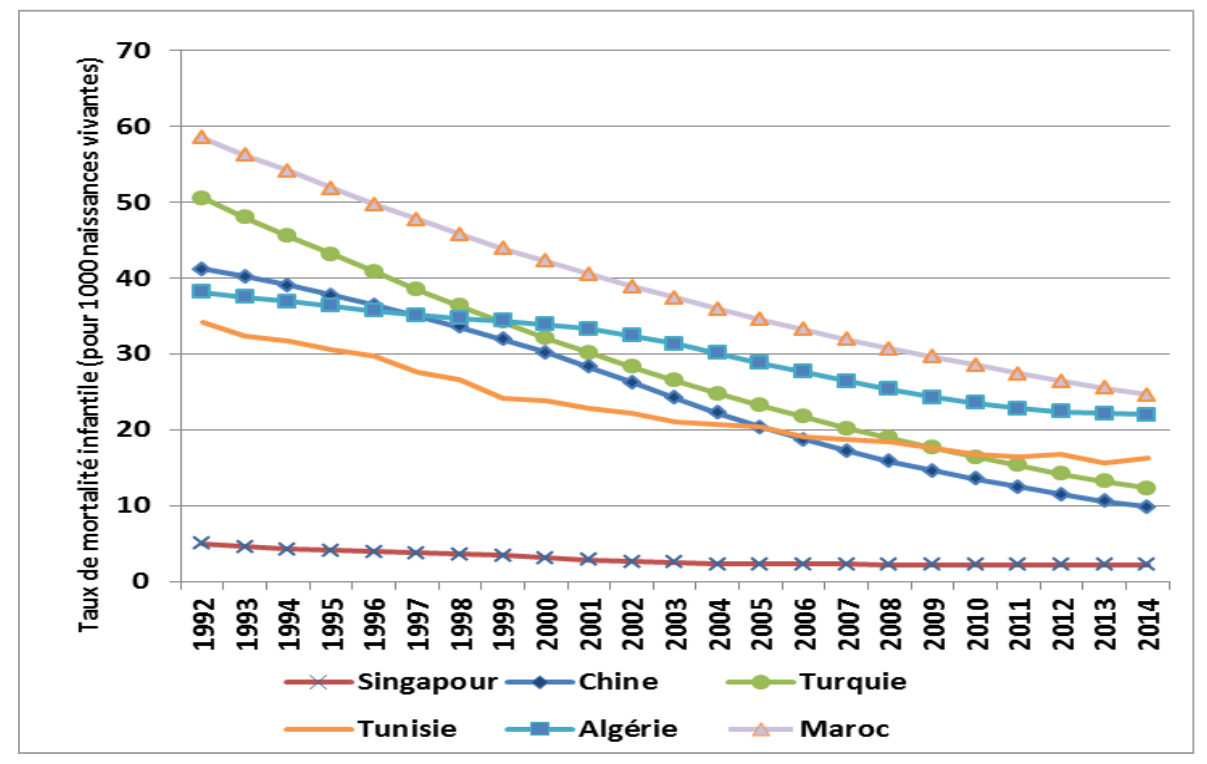


Figure I-3: Evolution du taux de mortalité infantile entre 1992 et 2014

Source: Banque mondiale(Word Development Indicators)

En 1992, ce taux de mortalité a été de l'ordre de 41.2‰ en Chine contre 34.1‰ en Tunisie. En 2014, ce taux a atteint respectivement 9.8‰ et 16.3‰.

En outre, la mortalité maternelle continue de poser un défi majeur au système de santé tunisien. L'enquête nationale sur la santé maternelle, réalisée, entre 2008 et 2010 par l'Institut National de la Santé, révèle un taux de 44,8 pour 100000 naissances vivantes contre 68.9 lors de l'enquête de 1994. Le taux a été ainsi réduit de 35%, soit un taux de diminution annuelle de 5%.

Le rapport de l'Organisation Mondiale de Santé (OMS) publié en 2014 indique que la Tunisie se classe en première position sur l'Afrique avec 62 pour 100000 naissances vivantes, suivie par le Maroc (121 pour 100000 naissances) et l'Algérie (140 morts pour 100000 naissances).

Rappelons que la Tunisie devrait baisser la mortalité maternelle à 18 pour 100000 naissances vivantes en 2015 pour atteindre la première cible énoncée dans le cinquième Objectif du Millénaire pour le Développement (OMD 5). Les pays en haut de classement ont affiché des taux inférieurs à 5 pour 100000 naissances vivantes à l'instar de la Suède, du Japon et du Singapour.

4. Les dépenses de santé

En matière de dépenses de santé, en 2014, avec 6,350 milliards de dinars par an, la dépense totale de santé s'élève en Tunisie à 6,2% du PIB contre 4,2 % en 1985. Les dépenses de santé par habitant sont passées de 39 TND en 1985 à 416 TND, soit une multiplication par dix fois. La part de la dépense totale de santé financée par les ménages est toujours prépondérante, soit 55 % contre 25% pour les caisses de sécurité sociale et 20 % pour l'Etat. Pour ce qui est de la destination de ce financement, environ 52 % des dépenses totales de santé servent au financement des structures appartenant au secteur public qui, rappelons-le, représente plus de 80 % de la capacité litière du pays, emploie 60 % des médecins et 90 % du personnel paramédical.

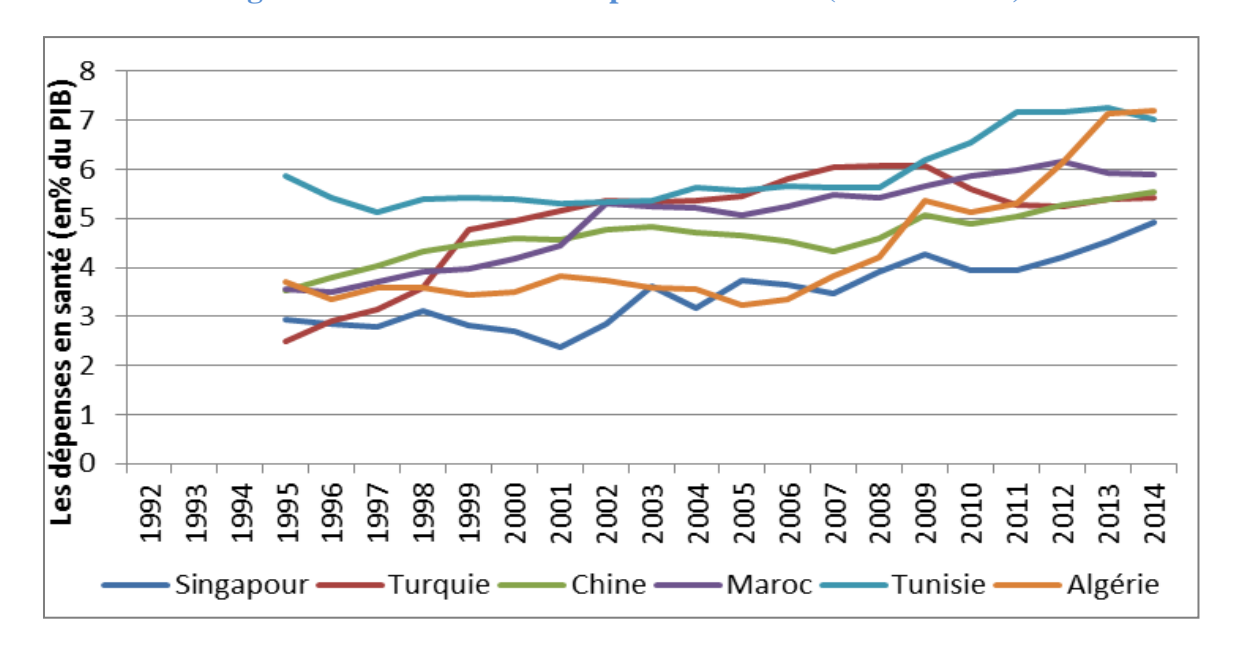


Figure I-4 : Evolution des dépenses en santé (en % du PIB)

Le recensement des lits d'hôpitaux est un indicateur de la disponibilité des services hospitaliers. En Tunisie, le ratio lits/population est de 21 lits pour 10 000 habitants en 2011, la densité médicale est de 12.8 médecins pour 10 000 habitants. D'après l'organisation mondiale de la santé, on ne trouve, dans la région africaine que 2 médecins pour 10 000 habitants contre 32 pour 10 000 dans la Région européenne. La population européenne bénéficie de 63 lits d'hôpitaux pour 10 000 habitants, contre 10 pour 10 000 dans la région africaine.

5. Richesse et espérance de vie : un rendement décroissant

La concavité de la courbe de tendance exponentielle montre un rendement décroissant du PIB par rapport au gain en espérance de vie. En effet, une même augmentation du revenu par

habitant conduit à un allongement bien supérieur de l'espérance de vie dans les pays pauvres que dans les pays riches, comme le montre le graphique ci-dessous.

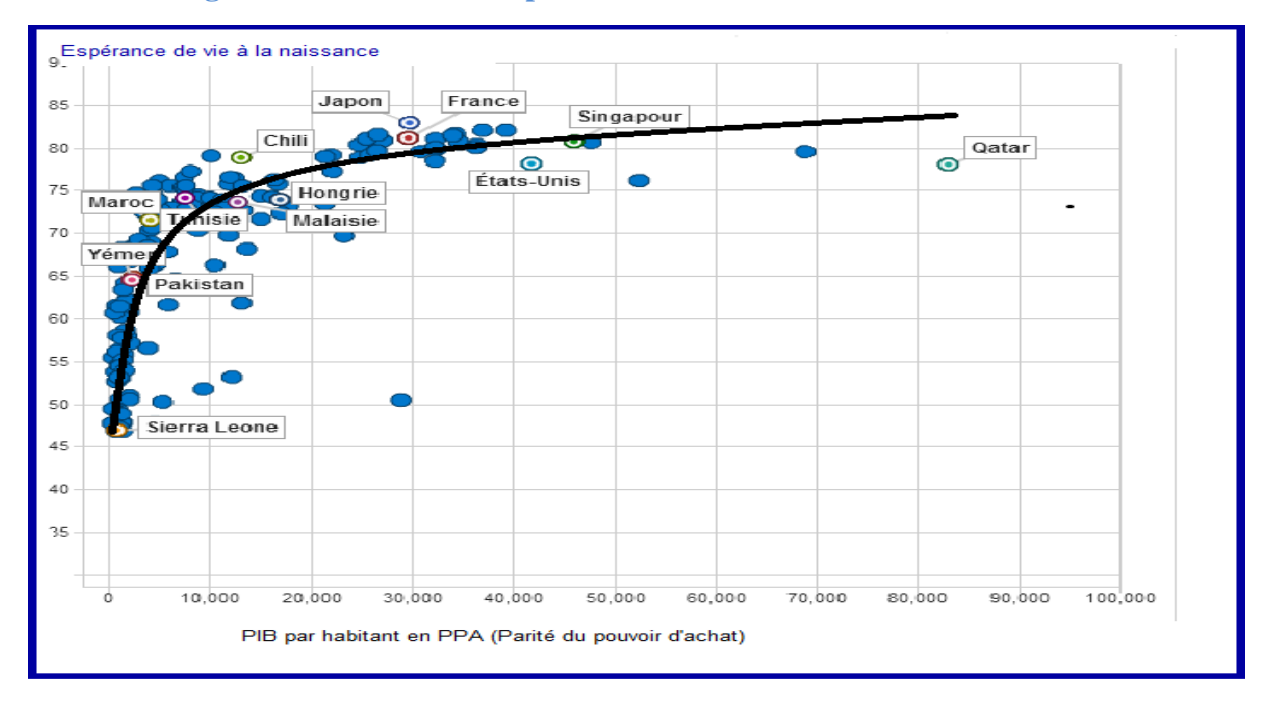


Figure I-5 : Richesse et espérance de vie: un rendement décroissant

La Tunisie, le Chili, le Japon et la France ont des espérances de vie plus élevées que ne le laisserait penser leur PIB par habitant et le phénomène est inverse aux États-Unis, Qatar et en Hongrie.

II. Le profil de la mortalité en Tunisie

1. La transmission épidémiologique en Tunisie

Selon Abdel Omran, l'amélioration de l'espérance de vie, à travers la transition épidémiologique se déroule dans toutes les sociétés en trois «âges» :

- « l'âge des maladies contagieuses, des pestes et de la famine », la mortalité est forte et fluctuante, avec une espérance de vie moyenne inférieure à 30 ans ;
- « l'âge du recul des pandémies », les moyens de lutte contre les maladies infectieuses se mettent en place, l'espérance de vie augmente considérablement, passant de moins de 30 à plus de 50 ans »;
- « l'âge des maladies dégénératives et des maladies de société » (maladies cardiovasculaires, obésité, hypertension et diabète, cancer, allergies, Alzheimer, dépendances, syndrome de fatigue chronique, dépression etc.).

Le gain en espérance de vie résulte ainsi du passage, sous l'influence du développement socio-économique, d'une structure de mortalité à dominante infectieuse à une structure de mortalité à dominante chronique et dégénérative.

Selon les tendances de la mortalité et de la fécondité et selon leurs déterminants, Omran (1983) définit les modèles suivants :

- Le modèle classique des pays occidentaux : dans ces pays, la mortalité a commencé à baisser depuis le début du 19ème siècle, d'abord sous l'effet du développement socioéconomique et bien plus tard grâce aux progrès de la technologie médicale ;
- Le modèle tardif des pays en développement : dans ces pays, la mortalité et la fécondité sont demeurées à des niveaux très élevés jusqu'à la fin de la 2ème guerre mondiale. C'est vers les années 1950 que la mortalité a baissé de manière spectaculaire alors que la fécondité est demeurée assez élevée. Enfin, c'est surtout le progrès médical, notamment l'accès aux antibiotiques, qui a été à l'origine de la baisse de la mortalité;
- La variante accélérée du modèle classique : c'est un modèle mitigé où, contrairement à ce qui a été observé dans le modèle classique, la mortalité a commencé à baisser tardivement et la transition s'est effectuée sur une période relativement courte. Enfin, c'est le développement médical qui a joué un rôle important tandis que la fécondité a chuté en raison de l'introduction de l'avortement. Le Japon et les pays de l'Europe de l'Est sont classés dans ce groupe de pays;
- La variante du modèle tardif : selon ce modèle, la baisse de la mortalité a commencé tardivement, après les années 1940, mais la fécondité a commencé à s'infléchir plus rapidement que dans les pays en développement ayant un modèle de transition tardif. C'est la baisse rapide de la mortalité infantile et la mise en place d'une politique de planification familiale qui caractérisent ce modèle. La Chine, la Corée du Sud, le Sri Lanka et l'île Maurice en sont des exemples.

Sur le plan démographique, la Tunisie a incontestablement un parcours original la distinguant de tous les pays arabo-musulmans et africains. La politique de planification familiale et les progrès sanitaires expliquent, en grande partie, le modèle de transition observé en Tunisie.

Au début de l'indépendance, la Tunisie était confrontée à d'immenses problèmes socioéconomiques et sanitaires. En 1968, plus d'une décennie après, le taux global de mortalité était aux environs de 13.9 pour mille ; la mortalité infantile, conséquence de la

malnutrition et des infections, dépassait les 49 pour mille et l'espérance de vie à la naissance atteignait à peine 54 ans.

L'espérance de vie a crû régulièrement depuis l'indépendance du pays. Partant d'un niveau proche des pays les moins avancés, elle a dépassé rapidement la plupart des pays en voie de développement. Ainsi, de par le début tardif de la baisse de la mortalité survenue après les années cinquante, de la rapidité de cette baisse et surtout de la spectaculaire baisse de la fécondité, on peut classer la Tunisie parmi les pays ayant suivi la variante du modèle retardé de transition épidémiologique à l'instar de la Corée du sud, de Hong Kong, du Sri Lanka et de la Chine.

2. Evolution de l'espérance de vie en Tunisie : Un avantage féminin continu

L'espérance de vie des cohortes féminines de la Tunisie est passée de 53.9 ans en 1968 à 77.4 ans en 2014. Entre ces mêmes générations, les gains du sexe masculin ont été inférieurs de 4 ans passant de 54.4 ans à 73.9 ans. Pour la Tunisie, les écarts en espérance de vie entre les sexes se sont creusés : une tunisienne de la génération 2014 espère vivre plus de 3.5 ans que son homologue masculin alors qu'en 1968 la différence ne dépassait guère 0.5 ans.

L'élargissement de l'écart de la durée de vie entre les sexes signifie que la surmortalité masculine, calculée en rapportant à chaque âge les risques de décès masculins aux risques de décès féminins, s'est considérablement accrue. La courbe a ainsi pris une allure caractéristique à deux bosses.

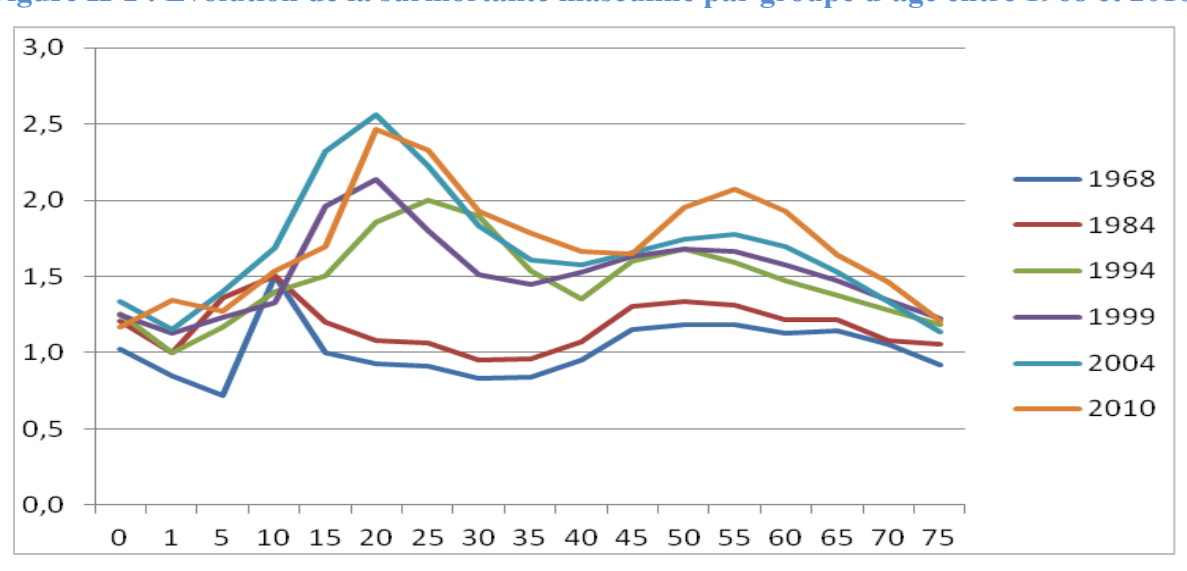


Figure II-1: Evolution de la surmortalité masculine par groupe d'âge entre 1968 et 2010

Source : Institut National de la Statistique

L'analyse de l'indice de surmortalité masculine² pour 1999-2010 révèle de fortes disparités selon l'âge. Jusqu'à 5 ans, l'indice, proche de 1, montre un niveau de risques assez voisin. On observe ensuite un accroissement de cet indice passant progressivement à 1.5 pour le quotient à 10 ans, 2 pour le quotient à 15 ans et 2.5 pour le quotient à 20 ans. Cette surmortalité commence par toucher les enfants et ensuite et, surtout, les adolescents et les jeunes adultes. Les causes sont avant tout liées chez ces derniers à l'accidentalité. Passé ce pic, la surmortalité masculine reste supérieure à 1.5 jusqu'à 70 ans pour chuter ensuite sensiblement en fin de vie. Cette surmortalité est liée au niveau d'activité plus important chez les hommes, à des métiers à risques et surtout à des comportements plus risqués pour la santé (tabagisme).

3. Mortalité et morbidité par âge : d'où vient le gain en espérance de vie ?

L'allongement de la durée de vie moyenne de la population tunisienne est imputé à un gain considérable en matière de survie des enfants de moins d'un an.

Le démographe français Jean Bourgeois-Pichat distingue en deux catégories la mortalité infantile, et ce suivant la cause qui a provoqué la mort : la mortalité endogène et la mortalité exogène.

La mortalité endogène ou mortalité biologique provient de la constitution génétique de l'individu, des malformations congénitales et des causes endogènes acquises au moment de l'accouchement (traumatisme obstétrical) dues aux circonstances de l'accouchement. La mortalité exogène, à l'opposé, provient de causes extérieures, comme les maladies infectieuses ou parasitaires ou les traumatismes accidentels.

La "méthode biométrique" de Bourgeois-Pichat permet d'estimer, par une analyse purement quantitative de la distribution des décès suivant l'âge du décès au cours de la première année, les deux taux de mortalité infantile endogène et exogène.

L'équation à estimer repose sur les trois hypothèses suivantes :

- H1: au-delà d'un certain âge A que l'on suppose d'environ un mois (28, 30, 31 jours), tous les décès sont de nature exogène;
- H2 : au-delà de A, le total des décès jusqu'à un âge B donné est une fonction de cet âge ;
- H3: on peut extrapoler cette fonction, pour les décès exogènes, avant l'âge A.

-

² L'indice de surmortalité masculine est égal au taux de mortalité des hommes divisé par celui des femmes pour un âge donné.

Si l'on note PB le rapport entre le nombre de décès, entre les âges 0 et B et le nombre N de naissances annuelles, on peut écrire PB sous la forme suivante :

 $PB=\alpha + \beta*log3 (B+1),$

 α et β sont deux paramètres à estimer et représentent respectivement les taux de mortalité endogène et exogène.

Tableau II-1 : Estimation des taux de mortalité endogène, exogène et infantile L'entre 1965 et 2009 par la méthode de Bourgeois-Pichat

A			TNAI 3	A			T N 41
Année	Endogène	Exogène	TMI ³	Année	Endogène	Exogène	TMI
1965	29,49	25,69	55,18	1991	18,39	5,66	24,05
1966	⁴ 31,07	24,28	55,36	1992	17,08	4,95	22,04
1967	31,72	23,66	55,37	1993	17,63	4,34	21,97
1968	29,63	19,57	49,19	1994	18,51	4,12	22,64
1969	35,16	24,77	59,93	1995	17,77	4,35	22,13
1970	30,99	21,95	52,94	1996	17,92	3,72	21,65
1971	28,42	21,28	49,70	1997	17,34	3,95	21,29
1972	27,79	17,52	45,30	1998	15,46	3,24	18,70
1973	28,33	18,61	46,93	1999	16,13	2,90	19,03
1974	24,03	14,09	38,12	2000	16,23	2,78	19,01
1975	25,83	15,56	41,40	2001	15,65	2,66	18,31
1976	21,30	12,85	34,15	2002	15,26	2,68	17,94
1977	22,34	13,88	36,22	2003	14,19	2,50	16,70
1978	17,62	11,25	28,87	2004	15,15	2,43	17,59
1979	18,35	12,59	30,94	2005	15,11	2,79	17,91
1980	20,60	10,59	31,20	2006	15,59	2,54	18,12
1981	21,01	11,18	32,20	2007	13,54	2,52	16,06
1982	17,68	10,69	28,37	2008	15,50	2,33	17,83
				2009	14,64	2,50	17,15

Pour la Tunisie, entre 1965 et 1982, les deux taux de mortalité diminuent à des rythmes proches. Le taux de mortalité endogène est passé de 29.5‰ à 17.7 ‰, soit une réduction de 40%, le taux de mortalité exogène s'est réduit de 58% passant de 25.7‰ à 10.7‰. Cependant, les deux dernières décennies marquent des évolutions différentes : une réduction de 20% pour la mortalité endogène et 56% pour la mortalité exogène. L'estimation des taux de mortalité est faite sur des données observées et non corrigées des taux d'enregistrement des décès à l'état civile, ce qui explique les différences des taux de mortalité infantile estimés ici et ceux calculés par l'Institut Nationale de la Statistique. En conclusion, les gains en espérance de vie

³ TMI : Taux de mortalité infantile

proviennent essentiellement du recul très important de la mortalité des enfants entre 1966 et 1982 grâce à la fois à l'amélioration des conditions de vie et de l'hygiène d'une part, et à la diffusion des antibiotiques et la généralisation des vaccinations qui permettent d'éradiquer les maladies infectieuses d'autre part.

En revanche, une décennie plus tard, la surveillance des grossesses, des accouchements et des nourrissons, concomitamment aux progrès de l'hygiène et de la médecine, ont fortement diminué la mortalité endogène.

75 70 65 100% 90% **55** 80% **5**0 **45** 70% **40** 60% **35** 50% **30** 25 40% 30% **15** 20% 0.8 10% 0.7 **5 0** 0% Gain Hommes 1999-2009 Gain Femmes 1999-2009

Figure II-2 : Contribution des différents groupes d'âges quinquennaux au gain en espérance de vie à la naissance entre 1999 et 2009

Source : Institut National de la Statistique

Après avoir maitrisé les maladies transmissibles, la Tunisie doit faire face à d'autres types de pathologies prenant leurs origines dans les modifications des modèles de consommation, de l'urbanisation et de la pollution de l'environnement.

Entre 1999 et 2009, le gain en espérance de vie a été de 2 ans pour les hommes et 2.4 ans pour les femmes. Néanmoins, la contribution des différents groupes d'âges aux gains en espérance de vie à la naissance a été semblable mais à des niveaux différents. En premier lieu, c'est le groupe d'âge 0-4 ans qui contribue le plus: 30% pour les hommes et 24% pour les femmes. Ensuite, près de 40% du gain est réalisé aux âges de 60 ans et plus.

4. La santé en Tunisie s'améliore, mais les inégalités régionales persistent

La répartition géographique inégale d'infrastructures sanitaires associée aux disparités régionales des conditions de vie ont profondément établi des inégalités importantes en termes de mortalité.

Le taux brut de mortalité au niveau régional varie en effet dans une fourchette comprise entre 3.9‰ (Ariana) et 7.8‰ (Tunis) autour de la moyenne nationale située à 5.7‰ en 2011.



Figure II-3 : Taux de mortalité infantile et nombre de lits d'hôpitaux pour 1000 habitants par gouvernorat en 2009

Source : Ministère de la santé

Le taux de mortalité des enfants âgés de moins d'un an, traditionnellement considéré comme un bon indicateur de développement sanitaire et social d'une population, apparaît particulièrement haut à Kébili (28.5 ‰) contre 12.8‰ à Tunis. Selon le milieu, ce taux varie entre 15.2‰ en milieu urbain et 26.4‰ en milieu rural. Pour les enfants âgés de moins d'un an, les taux ont été respectivement de 12.1‰ et 24.6‰ d'après les résultats préliminaires de l'enquête MICS 4⁵.

⁵ L'enquête par grappes à indicateurs multiples MICS 4 Tunisie a été réalisé en 2011-2012 par l'INS. MICS est un programme international d'enquête ménage élaboré par l'UNICEF qui fournit des indicateurs clés sur la situation des enfants et des femmes qui permettent de suivre le progrès dans la voie de la réalisation des objectifs du millénaire pour le développement (OMD).

Tableau II-2 : Taux de mortalité des enfants âgés de moins de 5 ans par milieu en (%)

Enquête MICS 4	Taux de mortalité néonatale	taux de mortalité post- néonatale	taux de mortalité infantile	taux de mortalité moins des moins de 5 ans
Urbain	7,59	4,57	12,16	15,2
Rural	18,28	6,33	24,62	26,4
National	11,51	5,21	16,73	19,1

Source: Enquête MICS 4

Les résultats de l'enquête nationale sur la mortalité maternelle ont mis en évidence un grand écart entre les régions. A ce propos, Les régions de Nord-ouest et Sud-ouest enregistrent les taux les plus élevés estimés respectivement à 67 et 56.8 pour 100000 naissances vivantes. Les régions Nord-est et Sud-est enregistrent les taux les plus faibles : 27.9 et 30.5 pour 100000 naissances vivantes. Rappelons que le taux de mortalité maternelle est considéré comme un bon indicateur de la qualité des soins.

III. Elaboration des tables de mortalité6 prospectives pour la Tunisie

1. Le modèle de Lee et Carter

La prévision de l'allongement de la durée de vie moyenne qui résulte de la projection des taux de mortalité dans le futur, revêt une importance pour les systèmes de retraite notamment pour les pays ayant adopté un régime de financement par répartition à l'instar de la Tunisie. Outre le problème démographique résultant du faible nombre de naissances observé dans notre pays, la durée moyenne de la retraite s'accroîtra de façon que le ratio démographique (rapport entre les effectifs des cotisants et des effectifs bénéficiaires de pensions) diminue progressivement induisant par la suite, en absence de réforme de la sécurité sociale, une dégradation du solde financier.

Ainsi, il convient d'établir des tables de mortalité prospectives, encore appelées longitudinales qui permettent de tenir compte de l'allongement de la vie humaine. Ces tables donnent, pour chaque génération, l'espérance de vie à la naissance et plusieurs autres

Table de mortalité: La table de mortalité est un modèle qui reflète la mortalité vécue par une cohorte d'individus nés tous la même année, depuis la naissance jusqu'à l'extinction complète de la génération. La cohorte est supposée fermée à la migration. Elle donne à chaque âge le nombre de décès, de survivants, les probabilités de décès et de survie pour une génération fictive de 100000 ou 1000000 naissances. Un concept fondamental résultant est la durée de vie moyenne restante à l'âge x, notée Ex. Pour les survivants de l'âge x : une personne en vie à l'âge x décèdera en moyenne à l'âge x+Ex.

indicateurs : la probabilité de décès, la probabilité de survie entre deux âges, le nombre des années vécues ainsi que le nombre de survivants à différents âges. Son élaboration permet de synthétiser la mortalité soit au sein d'une population à un moment donné (table du moment), soit au sein d'une génération (table de génération). Dans ce contexte, la table de mortalité répond à plusieurs besoins statistiques, notamment dans les domaines de la santé, de l'épidémiologie et de l'actuariat, et permet d'établir des comparaisons entre les régions ou les générations.

Plusieurs méthodes sont proposées dans la littérature, nous envisagerons, dans ce travail, l'approche statistique basée sur la méthode de Lee-Carter. Initialement utilisée sur des données américaines, celle-ci a prouvé son efficacité à maintes reprises et sur diverses populations: Belgique (voir Brouhns & Denuit (2002)), Canada (voir Lee & Nault (1993)), Chili (voir Lee & Rofman (1994)) et Japon (voir Wilmoth (1996)).

Le modèle de Lee Carter décompose le logarithme du taux instantané de mortalité en deux composantes, l'une propre à l'âge et l'autre tendancielle. Le modèle s'écrit sous la forme log bilinéaire népérien comme suit:

Ln
$$(\mu_{x,t})=\alpha_x+\beta_x*K_t+\epsilon_{x,t}$$

$$\boldsymbol{\varepsilon}_{\mathbf{x},\mathbf{t}} \sim N(0,\sigma^2)$$

Sous les contraintes : $\sum \beta_x = 1, \sum k_t = 0$

- $\mu_{x,t}$ est le taux instantané de mortalité à la date t pour l'âge x
- α_x représente la composante spécifique à l'âge x et décrit le comportement moyen des $ln(\mu_{x,t})$ au cours du temps
- **K**_t est un indice qui décrit l'évolution générale de la mortalité
- β_x indique la sensibilité de la mortalité instantanée par rapport à l'évolution générale de la mortalité c'est-à-dire l'écart des ln $(\mu_{x,t})$ par rapport à K_t .
- $\varepsilon_{x,t}$ est un terme d'erreur qui reflète les particularités propres à l'âge x ou à la date t qui ne sont pas capturées par le modèle.

Par hypothèse, les variables aléatoires $\varepsilon_{x,t}$ sont indépendantes, identiquement distribuées suivant la loi normale d'espérance 0 et de variance σ 2.

2. Application à la Tunisie

L'application du modèle à la Tunisie repose sur trois étapes. La première étape consiste à estimer le taux instantané de mortalité. L'estimation des paramètres alpha, beta et k est établie en une seconde étape. Enfin, la troisième étape consiste en une extrapolation de la variable tendancielle.

a. Première étape : calcul des taux instantanés de la mortalité entre 1984 et 2004

Trois types d'estimations ont été effectués afin d'établir les séries annuelles des taux instantanés de mortalité entre 1984 et 2004

- Estimation du taux d'enregistrement des décès à l'état civil

En dépit de l'exhaustivité de l'enregistrement des naissances depuis 1968, la déclaration de l'acte de décès ne couvre pas à ce jour la totalité de la population décédée. Dérivée d'une technique générale développée par les démographes pour évaluer la mortalité aux âges adultes (Nations-Unies, 1984), la méthode de Preston et Coele permet, à l'image des autres techniques d'estimation indirectes en démographie, d'estimer le taux de couverture des décès d'âges adultes à partir des données des recensements. Les décès de moins d'un an sont corrigés à partir des valeurs produites par les enquêtes démographiques de 1968, 1988, 2001 et 2006. Ensuite un ajustement au modèle de Philippes Fargues donne les taux de couverture par année d'âge. Les séries des taux de correction ont été estimées par interpolation linéaire entre les années.

Tableau III-1: Taux de couverture estimés

Année	Masculin	Féminin	Ensemble
1975	0.7629	0.6689	0.7265
1984	0.8224	0.7749	0.7745
1994	0.8575	0.8006	0.8496
2004	0.9292	0.8527	0.9077

- Estimations intercensitaires de la population par âge et à chaque premier janvier :

Partant du recensement le plus récent, les estimations post-censitaires de la population par âge sont produites par application de la méthode des composantes qui consiste à retrancher à

l'effectif de la population le nombre de décès et y ajouter les naissances et le solde migratoire international.

L'estimation intercensitaire consiste à mettre à jour ces estimations tout en tenant compte des résultats du nouveau recensement réajusté par le sous dénombrement net (ou sur dénombrement). Il s'agit ainsi de recaler d'abord les résultats de chaque recensement au premier janvier précédent. Ensuite, au sein de chaque génération, on calcule la différence entre les effectifs estimés à partir du recensement précèdent et ceux du nouveau recensement. Enfin, on procède à une révision sur la répartition par âge en interpolant linéairement les effectifs par âge et sexe puis les aligner sur les effectifs révisés par correction proportionnelle.

- Estimation des taux instantanés de la mortalité :

En rapportant les décès corrigés aux populations estimées, on obtiendra les taux de mortalité par sexe et année d'âge. Ces séries de données seraient transformées en quotients de mortalité à partir des formules suivantes :

- Désignons par P_x^n l'effectif au 1^{er} Janvier de l'année n de la population d'un sexe donné à l'âge révolu x. D_x^n est le nombre de décès correspondant. On estime le taux de mortalité t_x^n par la formule : $t_x^n = D_x^n / ((P_x^n + P_x^{n+1})/2)$
- Le quotient de mortalité Q_x^n (probabilité de mourir à l'âge révolu x pendant l'année t) est obtenu par « la méthode fruste » :

$$Q_x^n = 1 - \exp(-t_x^n) \approx t_x^n / (1 + t_x^n / 2)$$

Si nous adoptons l'hypothèse de constance par morceaux des taux instantanés de mortalité pendant une année t c.à.d :

$$pour0 \le ti \le 1, \mu_{x+ti} = \mu_x, \forall x \in \mathbb{N}$$

$$\mu_{x,t}$$
 est estimé par : $\mu^*_{x,t} = -\log(1-Q_{x,t})$

Les taux brut de mortalité présentent, comme il ressort de la figure ci-dessous, des irrégularités importantes surtout aux âges élevés. Ainsi, il est nécessaire d'y substituer des taux lissés en se rapprochant d'une certaine loi connue. Plusieurs modèles de régression ont déjà fait leur preuve, tels que : la loi de Gompertz (1825), la loi de Makeham (1960), le modèle d'Heligman et Pollard (1980), la loi de Weibull ou la loi logistique (1951).

Le modèle d'Heligman et Pollard met en évidence trois termes de la mortalité :

- Le premier, une fonction exponentielle décroissante, reflète l'autonomie de l'enfant qui s'adapte à son nouvel environnement et les gains d'immunité contre les maladies du monde extérieur;
- Le deuxième représente « la bosse accidentelle » ;
- Le troisième terme, le Gompertz, reflète la hausse géométrique des taux de mortalité aux âges adultes.

Figure III-1: Modèle de Heligman et Pollard

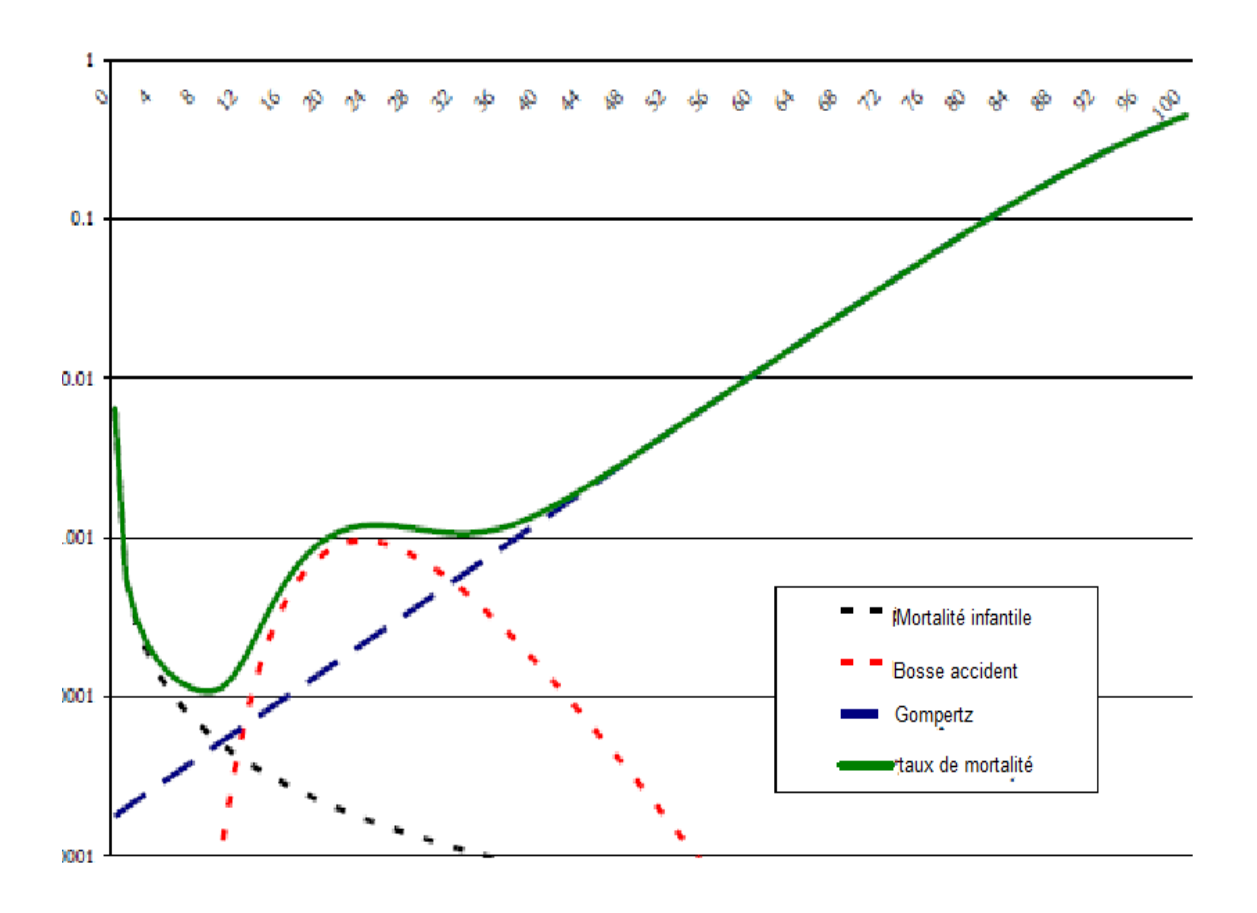
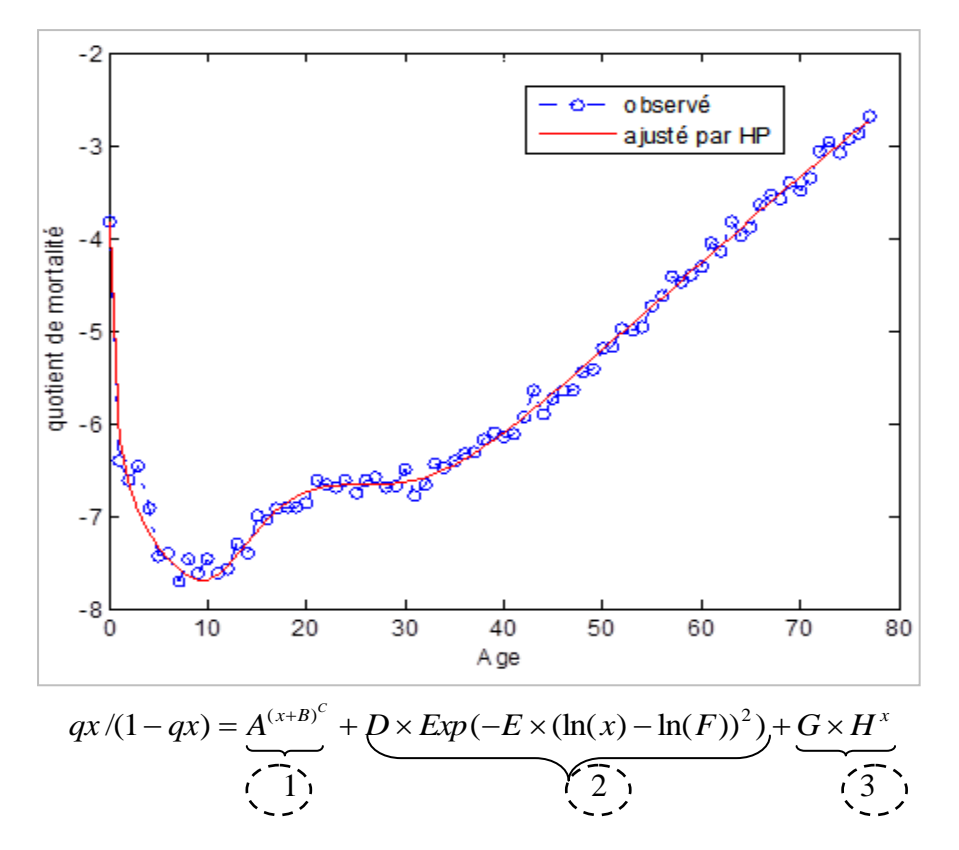


Figure III-2: Quotients de mortalité observés et ajustés en 2003



La qualité d'ajustement est mesurée par la somme des carrés des résidus (SSE : Sum of Squared Errors) et par RMSE. Ces deux critères doivent être proches de zéro.

Tableau III-2 : Paramètres estimés du modèle Lee et Carter

Paramètres estimés	1984	1989	1994	1999	2004
A	0,006129	0,004248	0,003541	0,002433	0,002129
В	0,0277	0,03	0,03	0,02998	0,01766
C	0,1445	0,1472	0,1472 0,1446		0,1186
D	0,0009961	0,0008914	0,0006803	0,0007336	0,0007567
E	3,92	2,101	4,999	4,995	4,99
F	25,69	27,94	22,09	22,21	21,56
G	2,70E-05	2,63E-05	6,68E-05	4,34E-05	4,29E-05
Н	1,111	1,112	1,095	1,102	1,102
SSE	0,0004	0,0011	0,0008	0,0007	0,0002
R-Squared	0,9860	0,9614	0,9631	0,9712	0,9905
RMSE	0,0024	0,0040	0,0034	0,0031	0,0017

b. Deuxieme étape : estimation des paramètres alpha beta et k

L'estimation est basée sur la méthode des moindres carrés ordinaires. Il s'agit de résoudre le problème d'optimisation suivant :

$$(\widehat{\alpha}_x, \widehat{\beta}_x, \widehat{k}_t) = \arg\min_{\alpha_x, \beta_x, k_t} \sum_{x=x_{min}}^{x_{max}} \sum_{t=t_{min}}^{t_{max}} (\ln(\widehat{\mu}_x(t) - \alpha_x - \beta_x k_t)^2)$$

La solution de cette équation est fournie par la méthode de décomposition en valeurs singulières⁷. Effectuée sous Matlab, cette méthode nous permet d'estimer trois paramètres $\hat{\alpha}_x$, $\hat{\beta}_x$ et \hat{k}_t . Nous procédons à un réajustement des k_t afin que le nombre total des décès enregistrés chaque année dx(t) corresponde à celui prédit par la décomposition des valeurs singulières étant donné $\hat{\alpha}_x$, et $\hat{\beta}_x$. Ainsi, pour chaque valeur de t, il faut ajuster \hat{k}_t de façon à ce que :

$$\sum_{x} dx(t) = \sum_{x} \exp(\hat{\alpha}_x + \hat{\beta}_x * \hat{k}_t) * L_x(t)$$

dx(t): est le nombre des décès recensés à l'âge x durant l'année t et $L_x(t)$ le nombre d'années vécus par les individus d'âge x durant l'année t.

Pour respecter les contraintes, les estimations de k_t et α sont redéfinies par :

$$K_t^* = \hat{k}_t - \overline{k}$$

et
$$\alpha_x^* = \hat{\alpha}_x + \hat{\beta}_x * \hat{k}_t$$

Où \bar{k} est la moyenne des \hat{k}_t dans le temps.

L'application du modèle de Lee Carter aux données masculines et féminines tunisiennes a abouti aux résultats suivants :

Avec U une matrice $m \times m$ unitaire, V une matrice $n \times n$ unitaire et Σ une matrice $m \times n$ diagonale avec coefficients réels et positifs.

⁷La décomposition en valeurs singulières d'une matrice A de taille m × n est la factorisation de A en produit de trois matrices: $A = U\Sigma V$

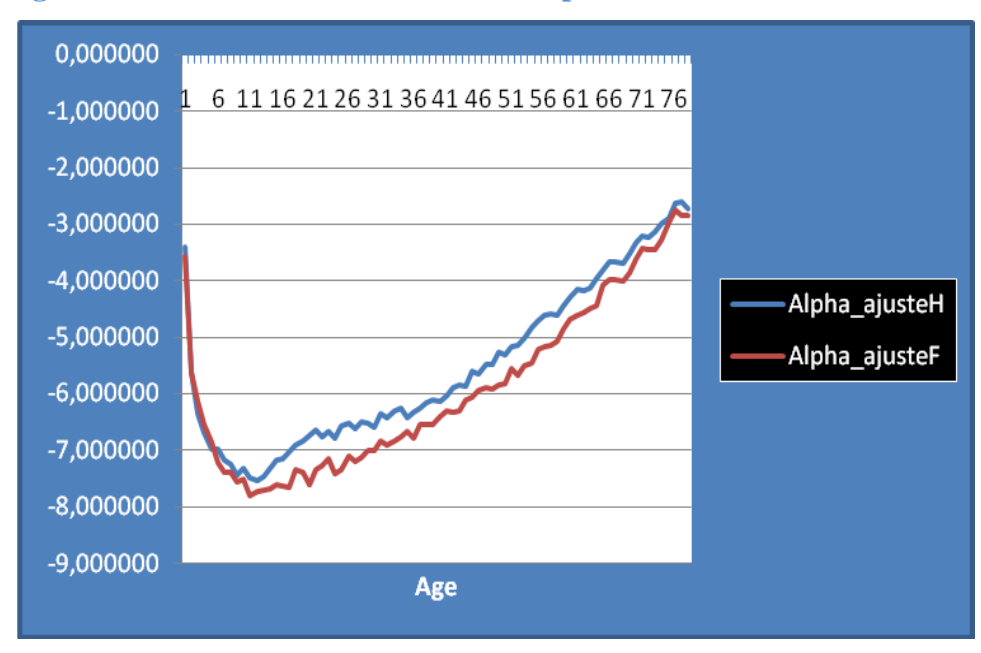


Figure III-3 : Paramètre ALPHA estimé pour les hommes et les femmes

S'agissant de l'allure générale de la mortalité suivant l'âge, donnée par le paramètre Alpha, on y retrouve les trois termes définis précédemment par le modèle d'Heligman et Pollard.

En effet, la courbe, relativement élevée chez les nouveaux nés et les nourrissons, décroît rapidement avec l'âge pour atteindre son minimum vers l'âge de dix ans. Par la suite, survient un pic de mortalité pudiquement appelé bosse des accidents. Cette bosse, qui touche surtout les jeunes hommes âgés entre 15 et 25 ans, est en fait composée essentiellement des accidents. Enfin, les logarithmes moyens des taux instantanés de mortalité augmentent quasiment linéairement avec l'âge. Les résultats confirment aussi la différence de la mortalité en faveur des femmes.

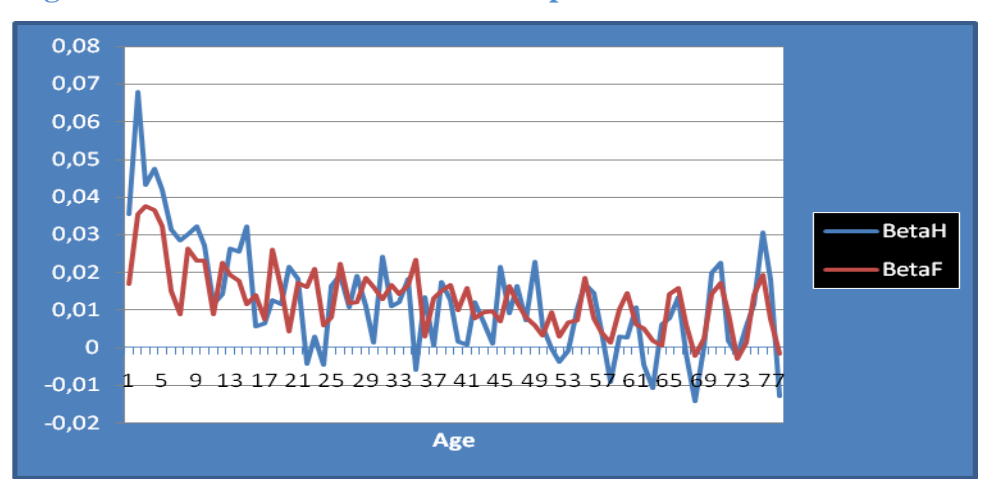
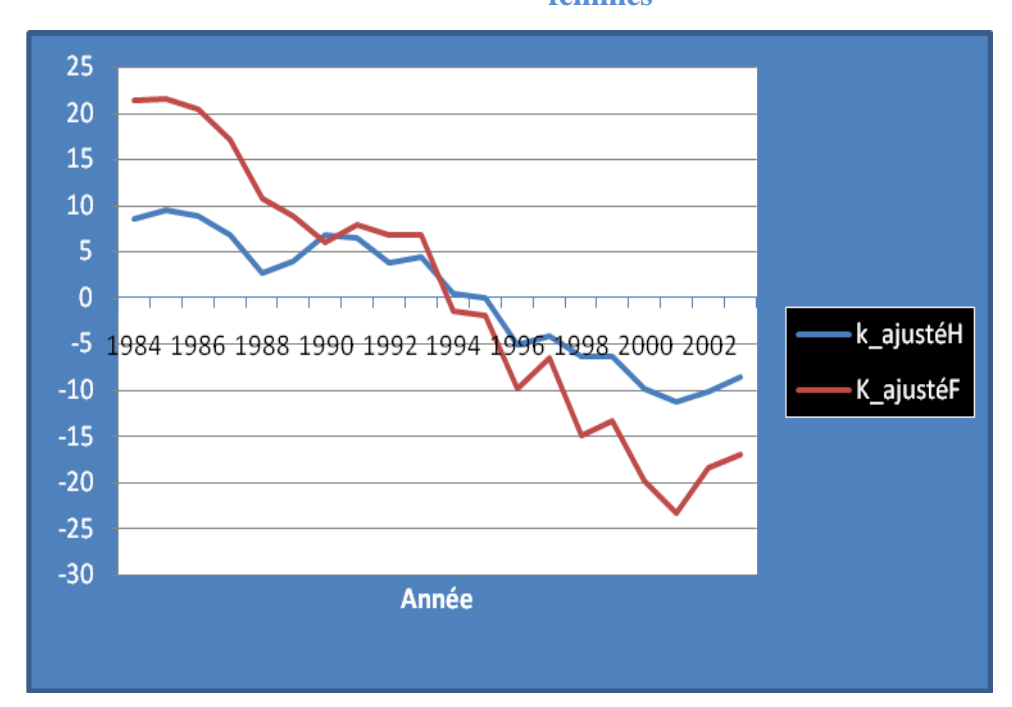


Figure III-4 : Paramètre BETA estimé pour les hommes et les femmes

Le déclin de la mortalité n'est pas identique pour tous les âges et se fait surtout ressentir chez les jeunes enfants de moins de 5 ans. Ces grandes variations temporelles des taux de mortalité sont probablement le résultat des progrès réalisés par la médecine pour freiner la mortalité infantile et juvénile pour les deux sexes.

Figure III-5 : Paramètre de la variable tendancielle K estimé pour les hommes et les femmes



La figure ci-dessus montre l'allure décroissante de cette variable au cours du temps. Pour les femmes, la baisse a été plus importante et s'explique par le progrès de la médecine induisant une baisse de la mortalité maternelle qui constitue une part importante de la mortalité féminine.

Le modèle Lee Carter présenté ci-dessus synthétise dans la série k_t toute l'information relative à l'évolution de la mortalité dans le temps. Le but se limite par la suite à extrapoler à travers cette variable les tendances observées dans le passé. Néanmoins, la mortalité étant influencée par l'interaction complexe des facteurs sociaux et biologiques d'une part et le progrès de la médecine d'autre part. La prédiction par extrapolation est en fait la technique par défaut vue la difficulté de modéliser ces facteurs dans le futur. En effet, cette démarche est incapable de prévoir les variations subites de la mortalité, notamment, liées à la découverte d'un nouveau traitement médical.

c. Troisième étape : extrapolation de la variable tendancielle

Afin de prévoir les taux instantanés de la mortalité des années futures, le modèle de Lee Carter se borne à extrapoler les tendances observées dans le passé. Par ce choix, les variations soudaines de la mortalité, par exemple la découverte d'un nouveau traitement médicale ou l'apparition des nouvelles maladies, ne seront pas prises en compte. Sachant que la mortalité est influencée par plusieurs facteurs biologiques et sociaux difficiles à modéliser, l'extrapolation est l'approche utilisée par défaut. Nous choisissons, ainsi, comme méthode de prévision le processus ARIMA (Auto Regressive Integrated Moving Average). Nous suivons par la suite pas à pas les étapes de la méthodologie de Box et Jenkins :

- Stationnarisation de la série : la première étape de la modélisation ARIMA consiste à s'assurer que la série est stationnaire en variance et en moyenne (stationnarité d'ordre 2).
- Plusieurs méthodes permettent de vérifier la stationnarité d'une série, certaines sont inférentielles (tests statistiques) d'autres sont des méthodes graphiques. Le corrélogramme et le test de Dickey Fuller appliqués aux séries Kh et Kf montrent qu'ils ne sont pas stationnaires. Par contre, la différence première des deux séries donne deux variables stationnaires.
- Identification du modèle ARMA(p,q) des séries différenciées : L'analyse des autocorrélogrammes et des autocorrélogrammes partiels nous permet de conjecturer que la série Kf suit un processus ARIMA(1,1,1), Kh suit un processus ARIMA(1,1,1).

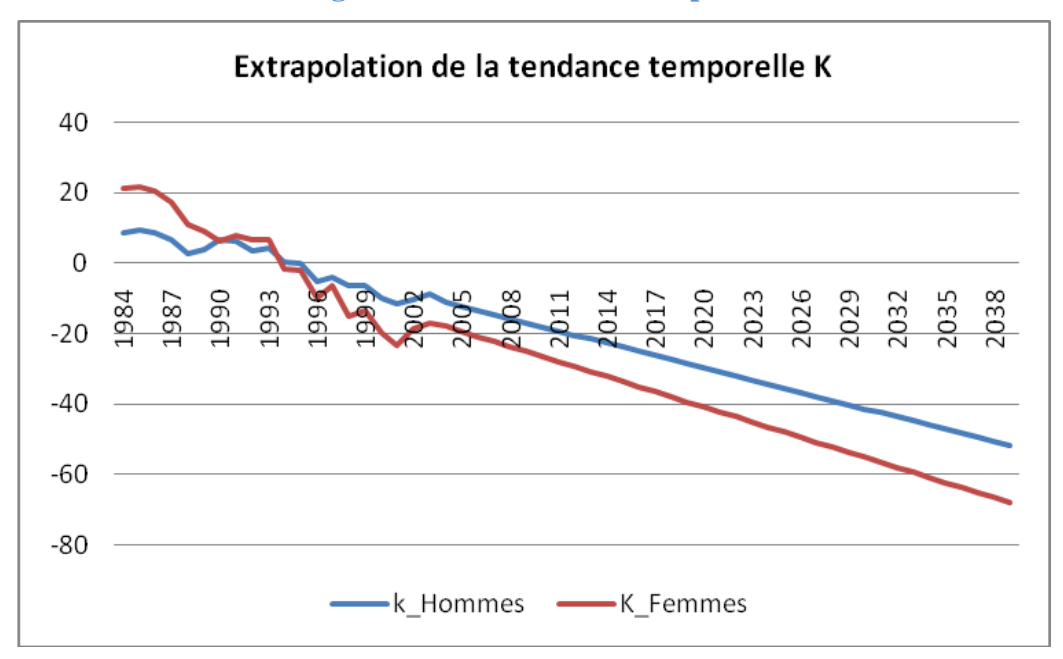


Figure III-6 : Kf et Kh extrapolés

d. Fermeture des tables de mortalité :

Pour les âges élevés, les données observées ne sont pas disponibles au-delà d'un âge limite (80 ans) pour plusieurs années et elles présentent une grande instabilité au delà de 50 ans comme il apparait dans la figure suivante.

A titre d'illustration on a fait recours à la méthode de Coele & Kisker, une des techniques d'extrapolation, afin de construire des tables de mortalité complètes.

La méthode se base sur la formule suivante :

$$\hat{\mu}_x = \hat{\mu}_{65} \times \exp(g_x \times (x - 65))$$

g_x est le taux de croissance de la mortalité entre 65 et x ans.

Coele et Kisker fixent arbitrairement les taux de mortalité pour un âge ultime (110 ans) par :

$$\begin{cases} \hat{\mu}_{110} = 1 & \text{Pour les hommes} \\ \hat{\mu}_{110} = 0.8 & \text{Pour les femmes} \end{cases}$$

Ainsi, pour extrapoler au-delà de 80 ans, on utilise la formule suivante :

$$\begin{cases} \hat{\mu}_x = \hat{\mu}_{x-1} \times \exp(g_{80} + s \times (x - 80)) \\ s = -(\ln(\hat{\mu}_{79} + 31 \times g_{80}) / 465 \text{ et } g_{80} = (\ln(\hat{\mu}_{80} / \hat{\mu}_{65}) / 15 \end{cases}$$

IV. Résultats

1. Evolution future de l'espérance de vie à la naissance

A partir des tables de mortalités prospectives construites, on calcule la durée de vie moyenne aux différents âges de 2004 jusqu'à 2039 pour les deux sexes.

Tableau IV-1 : Espérance de vie par genre projetée de 2004 à 2039

	Année	2004	2009	2014	2019	2024	2029	2034	2039
Hommes	Espérance de vie observée		71.3	73.9					
	Espérance de vie projetée	71.4	72.7	73.7	74.6	75.5	76.5	77.4	78.4
Femmes	Espérance de vie observée	75.3	76.3	77.2					
	Espérance de vie projetée	75.3	76.6	77.4	78.0	78.7	79.3	79.9	80.5

Il en résulte que l'allongement de l'espérance de vie à la naissance se poursuivrait entre 2014 et 2039. Cet allongement s'accompagnerait d'une réduction des écarts d'espérance de vie entre les hommes et les femmes, qui ne seraient plus que de 2.1 ans en 2039 contre 3.9 ans en 2014.

La poursuite des tendances de mortalité passées conduirait en 2039 à une espérance de vie à la naissance de 80.5 ans pour les femmes et 78.4 ans pour les hommes, contre respectivement 75.3 ans et 71.4 ans observées en 2014.

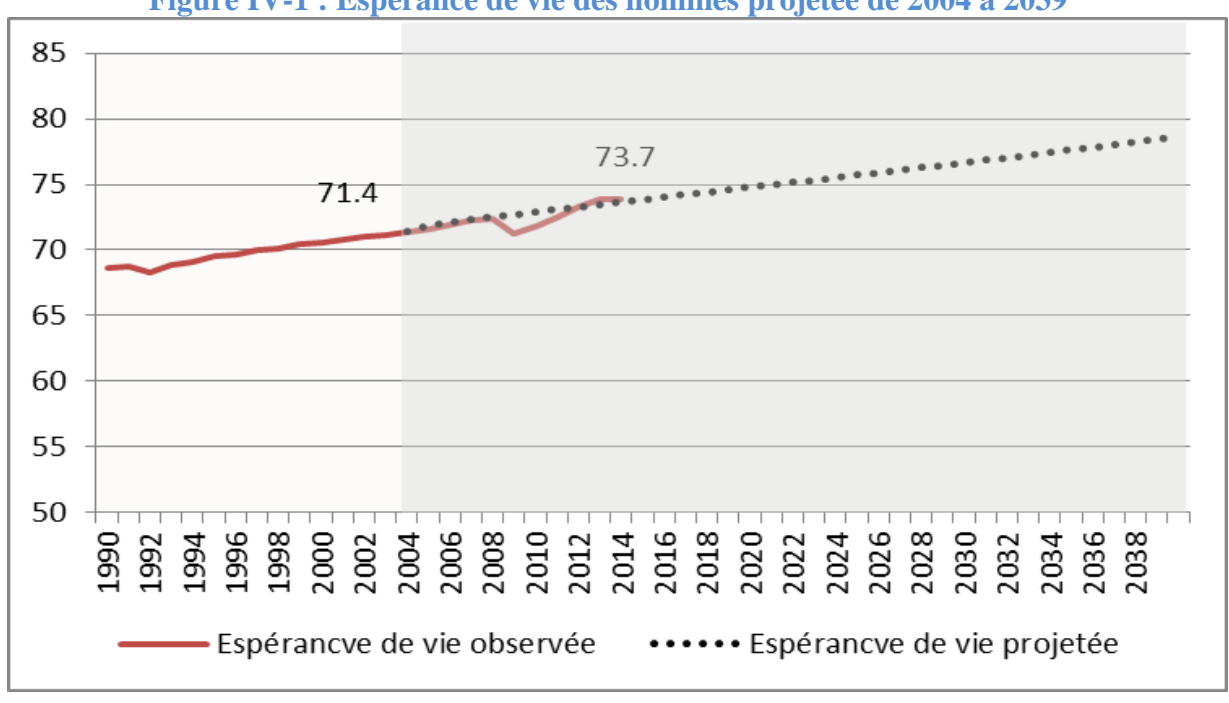
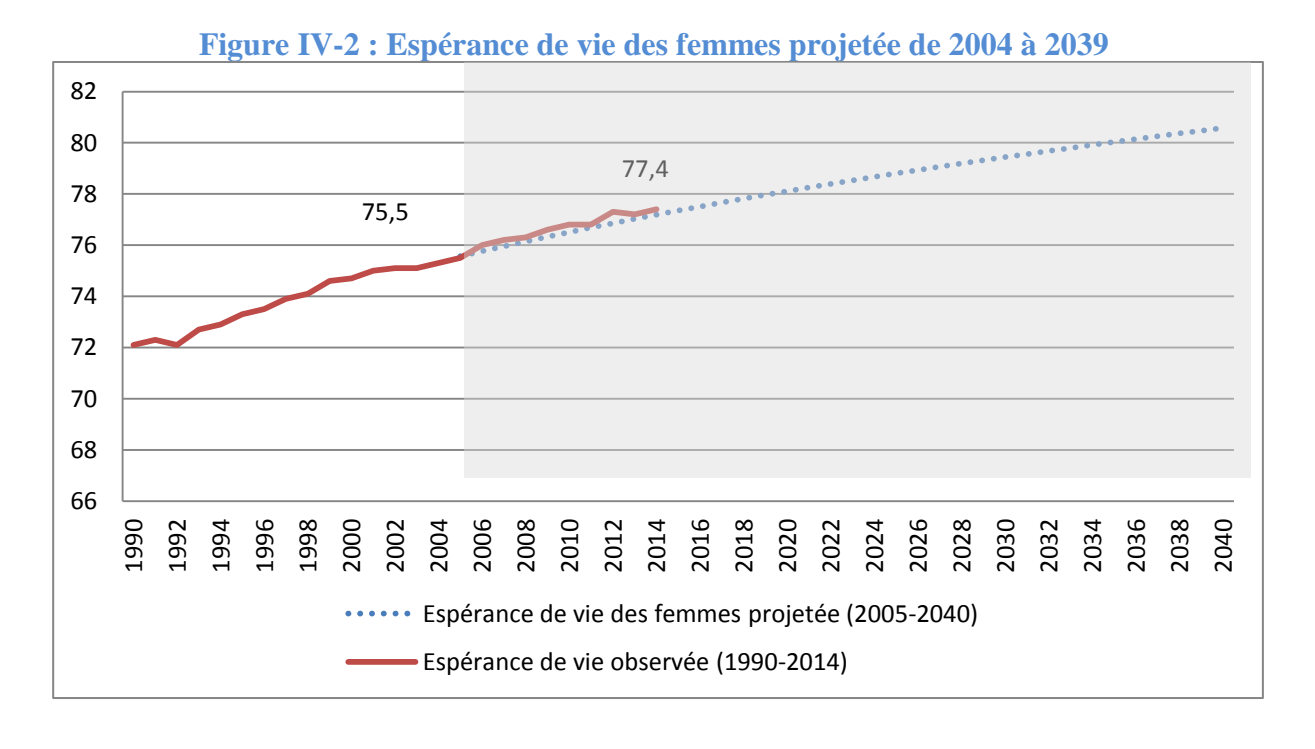


Figure IV-1 : Espérance de vie des hommes projetée de 2004 à 2039

En 25 ans, les hommes et les femmes gagneraient en espérance de vie à la naissance respectivement 7 ans et 5.2 ans.

Les gains annuels moyens d'espérance de vie entre 2014 et 2039 seraient respectivement de 0.28 an et 0.2 an pour les hommes et les femmes.



Pour les femmes, l'espérance de vie à la naissance en 2039 atteindrait 80.5 ans. Dès 2014, l'augmentation annuelle de l'espérance de vie à la naissance serait donc de 4 à 10 semaines chez les femmes. En effet, en début de période, l'espérance de vie à la naissance progresse en moyenne de 0,2 an chaque année, et en fin de période (entre 2029 et 2039) de 0,15 an.

2. Espérance de vie des personnes âgées :

La population tunisienne âgée de 60 ans est plus doublerait d'ici 2039, selon les dernières projections de la population 2014-2044 élaborées par l'Institut National de la Statistique (INS).

En effet, le nombre des personnes âgées de 60 ans et plus a été estimé à 1289809 personnes en 2014. Il passerait à un effectif de 2870156 personnes en 2039. Ainsi, leur part passerait de 11.7% de la population actuelle estimée en 2014 à 11007326 habitants à 20.1% en 2039. Cette augmentation du nombre de personnes âgées est une conséquence d'une transition démographique rapide correspondant au passage de taux élevés à de faibles taux de fécondité et de mortalité.

L'espérance de vie à 60 ans mesure pour une année donnée l'âge moyen des individus d'une génération fictive âgée de 60 ans, qui aurait connu à chaque âge la probabilité de décéder observée l'année considérée. Elle exprime donc le nombre moyen d'années restant à vivre audelà de 60 ans dans les conditions de mortalité par âge de cette année.

L'espérance de vie à 60 ans a progressé assez régulièrement en Tunisie depuis 1984. Elle est ainsi passée de 18.1 ans en 1984 à 19 ans en 2014 pour les hommes et de 18.2 à 20.5 ans pour les femmes, soit une progression annuelle moyenne estimée respectivement à 0.5 mois et 1.4 mois.

D'ici 2039, l'espérance de vie à 60 ans augmenterait à 19.8 ans chez les hommes et 22.3 ans chez les femmes.

3. Evolution future de la mortalité tunisienne

On dispose finalement, pour chaque sexe et pour l'ensemble des deux sexes, d'une série de tables de mortalité complètes de 2004 à 2039. Examinons ainsi les grands traits d'évolution de la courbe de la mortalité à partir de cette base d'information.

La courbe de mortalité suivrait une translation verticale vers le bas. Chaque groupe d'âge suit sans discontinuer son propre rythme de baisse. Avec le temps, la courbe s'écarterait de plus en plus du modèle exponentiel.

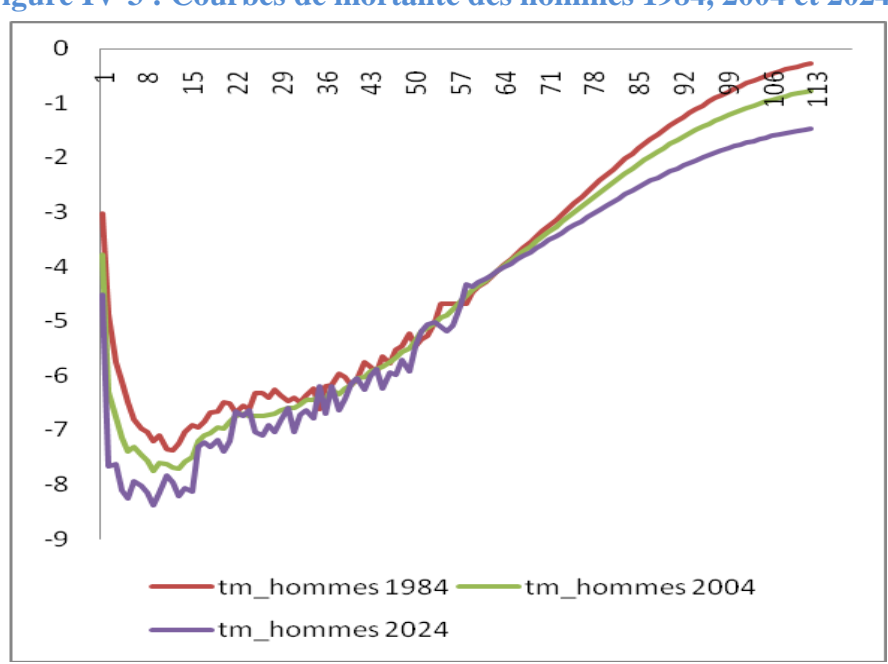
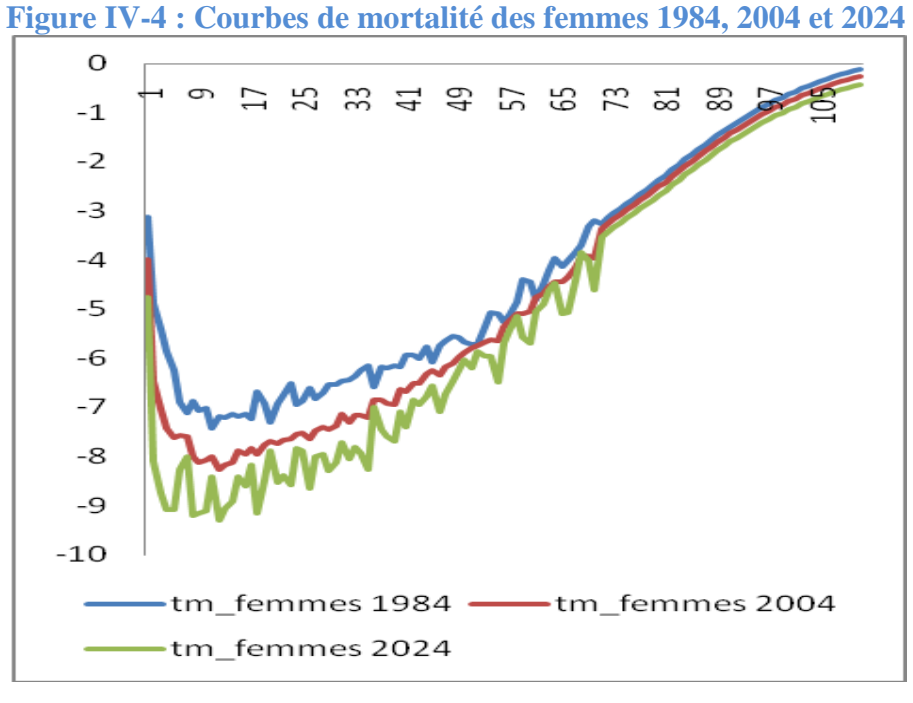


Figure IV-3 : Courbes de mortalité des hommes 1984, 2004 et 2024

À tous les âges, les hommes ont un risque de décéder plus élevé que les femmes. La surmortalité des hommes est maximale vers 20 ans. Le risque est alors trois fois plus élevé pour les hommes que pour les femmes du même âge.

La fréquence annuelle des décès diminue dans l'enfance jusque vers l'âge de 10 ans. Le risque de mourir s'accroît ensuite rapidement et il retrouve celui de la première année de vie vers 70 ans. Un palier est observé autour de l'âge de 25 ans, palier dû à un surcroît de mortalité traumatique chez les jeunes adultes et chez les adolescents (accidents de la circulation, suicides).



29

D'après les courbes de mortalité projetées en 2039, les reculs les plus importants de la mortalité seront produits avant l'âge de 10 ans. La mortalité des enfants âgés de moins de 5 ans deviendrait pratiquement négligeable pour les deux sexes.

L'ample baisse de la mortalité observée ci-dessus sera notamment accompagnée par sa concentration aux grands âges. On mesure encore mieux ici le relais pris récemment par la baisse de la mortalité aux grands âges sur celle de la mortalité infantile et juvénile.

A mesure qu'elles avancent en âge les générations bénéficient de progrès sanitaires de plus en plus importants et aux mortalités infantiles de jadis correspondent des mortalités adultes puis des mortalités aux grands âges beaucoup plus faibles que celles qu'on aurait pu attendre des tables correspondant aux années de naissance.

La mortalité par âge spécifique notamment le taux de mortalité infantile marquera une baisse plus conséquente d'un peu plus de 11 points en 2039, fixant sa valeur à 5,2‰ contre 16,3‰ en 2011.

Les filles présenteront désormais moins des risques de mourir durant la petite enfance que les garçons. En 2039, sur 1000 naissances, 4 mourront avant leur premier anniversaire chez les filles contre 6 chez les garçons. Ces taux sont respectivement estimés à 14,7‰ et 17,9‰ en 2014.

Références bibliographiques

- ✓ Bureau fédéral du Plan et Direction générale Statistique, « Perspectives démographiques 2014-2060, Population, ménages et quotients de mortalité prospectifs », 2015
- ✓ Office fédéral de la statistique (OFS), Laurence Seematter-Bagnoud, Lausanne, Fred Paccaud et Lausanne Jean-Marie Robine, « Le futur de la longévité en Suisse »/Série «Statistique de la Suisse» 2009
- ✓ Institut de statistique, Université catholique de Louvain, Natacha Brouhns, Antoine Delwarde et Michel Denuit, « Elaboration de tables de mortalité prospectives », 2002
- ✓ Institut national d'études démographiques, Jacques Vallin et France Meslé, « Tables de mortalité françaises pour les XIXe et XXe siècles et projections pour le XXIe siècle », 2001
- ✓ Institut des Sciences Actuarielles & Institut de Statistique, Aki Quashie & Michel Denuit, « Modèles d'extrapolation de la mortalité aux grands âges », 2005

- ✓ Institut des Sciences Actuarielles & Institut de Statistique, Université Catholique de Louvain, Natacha Brouhns & Michel Denuit, belgian actuarial bulletin, Vol. 2, No. 1, 2002
- ✓ Statistique Vaud, Jacques Menthonnex, « Tables de mortalité longitudinales pour la Suisse », 2006.

ANNEXE 1 : Tables de mortalité prospectives tunisiennes

Tableau I-1: Tables de mortalité en 2014

Hommes Femmes										
Age	qx	Sx	Dx	EVX		Age	qx	Sx	Dx	EVX
0	0.0157	100000	1568	73.7		0	0.01243	100000	1243	77.3
1	0.0009	98432	90	73.8		1	0.00068	98757	67	78.0
2	0.0008	98341	74	72.9		2	0.00037	98690	37	77.1
3	0.0005	98267	48	71.9		3	0.00026	98653	25	76.1
4	0.0004	98219	39	71.0		4	0.00023	98628	23	75.2
5	0.0005	98180	48	70.0		5	0.00036	98605	35	74.2
6	0.0004	98132	42	69.0		6	0.00041	98570	40	73.2
7	0.0004	98090	38	68.1		7	0.00018	98530	18	72.3
8	0.0003	98052	31	67.1		8	0.00018	98512	17	71.3
9	0.0004	98021	37	66.1		9	0.00018	98495	18	70.3
10	0.0004	97984	43	65.1		10	0.00027	98476	27	69.3
11	0.0004	97941	39	64.2		11	0.00015	98450	15	68.3
12	0.0003	97902	34	63.2		12	0.00018	98435	18	67.3
13	0.0004	97868	39	62.2		13	0.00020	98417	19	66.4
14	0.0004	97829	39	61.2		14	0.00029	98397	28	65.4
15	0.0007	97790	68	60.3		15	0.00025	98369	25	64.4
16	0.0008	97721	75	59.3		16	0.00033	98344	33	63.4
17	0.0008	97646	74	58.4		17	0.00019	98311	19	62.4
18	0.0009	97572	83	57.4		18	0.00029	98293	29	61.5
19	0.0008	97489	74	56.5		19	0.00041	98264	40	60.5
20	0.0009	97415	87	55.5		20	0.00029	98223	28	59.5
21	0.0012	97329	120	54.5		21	0.00032	98195	32	58.5
22	0.0012	97208	117	53.6		22	0.00030	98163	29	57.5
23	0.0012	97092	120	52.7		23	0.00045	98134	44	56.6
24	0.0010	96972	99	51.7		24	0.00045	98090	44	55.6
25	0.0010	96872	96	50.8		25	0.00029	98046	28	54.6
26	0.0011	96777	105	49.8		26	0.00043	98017	42	53.6
27	0.0010	96671	100	48.9		27	0.00045	97975	45	52.7
28	0.0012	96571	116	47.9		28	0.00038	97930	37	51.7
29	0.0014	96455	131	47.0		29	0.00042	97893	42	50.7
30	0.0011	96324	106	46.1		30	0.00059	97852	58	49.7
31	0.0013	96218	128	45.1		31	0.00046	97794	45	48.8
32	0.0014	96090	138	44.2		32	0.00055	97749	54	47.8
33	0.0013	95952	128	43.2		33	0.00053	97695	52	46.8
34	0.0019	95824	179	42.3		34	0.00043	97643	42	45.9
35	0.0014	95645	133	41.4		35	0.00099	97601	96	44.9
36	0.0020	95512	188	40.4		36	0.00078	97505	76	43.9
37	0.0015	95324	145	39.5		37	0.00070	97429	68	43.0
38	0.0018	95179	169	38.6		38	0.00066	97360	64	42.0
39	0.0021	95010	200	37.6		39	0.00104	97296	101	41.0

40)	0.0024	94810	223	36.7		40	0.00087	97195	85	40.1
41		0.0021	94587	203	35.8		41	0.00125	97110	122	39.1
42		0.0025	94384	241	34.9		42	0.00119	96989	115	38.2
43		0.0028	94143	261	34.0		43	0.00142	96874	137	37.2
44		0.0024	93882	224	33.1		44	0.00165	96736	160	36.3
45		0.0029	93659	268	32.2		45	0.00121	96577	117	35.4
46		0.0029	93390	274	31.2		46	0.00155	96459	150	34.4
47		0.0036	93116	332	30.3		47	0.00184	96309	178	33.5
48	;	0.0033	92785	306	29.4		48	0.00218	96132	210	32.5
49)	0.0045	92479	412	28.5		49	0.00255	95922	244	31.6
50)	0.0056	92067	515	27.7		50	0.00249	95678	238	30.7
51		0.0061	91552	558	26.8		51	0.00302	95440	288	29.8
52	,	0.0065	90994	594	26.0		52	0.00295	95152	280	28.9
53	,	0.0066	90400	594	25.2		53	0.00303	94871	287	28.0
54		0.0064	89807	578	24.3		54	0.00228	94584	216	27.1
55		0.0072	89229	642	23.5		55	0.00394	94368	372	26.1
56)	0.0092	88587	812	22.7		56	0.00481	93996	452	25.2
57	'	0.0118	87775	1032	21.9		57	0.00592	93543	554	24.4
58	}	0.0122	86743	1057	21.1		58	0.00479	92990	445	23.5
59)	0.0132	85686	1131	20.4		59	0.00460	92544	426	22.6
60)	0.0143	84555	1209	19.7		60	0.00735	92118	677	21.8
61		0.0155	83346	1290	19.0		61	0.00825	91441	755	20.9
62		0.0168	82056	1375	18.3		62	0.01017	90686	922	20.1
63		0.0181	80681	1464	17.6		63	0.01149	89764	1031	19.3
64		0.0196	79217	1556	16.9		64	0.00850	88732	754	18.5
65		0.0213	77661	1651	16.2		65	0.00890	87978	783	17.7
66		0.0230	76009	1750	15.6		66	0.01366	87196	1191	16.9
67		0.0249	74260	1850	14.9		67	0.02003	86004	1722	16.1
68		0.0270	72409	1953	14.3		68	0.01864	84282	1571	15.5
69		0.0292	70457	2056	13.7		69	0.01370	82711	1133	14.7
70		0.0316	68401	2160	13.1		70	0.03145	81578	2566	14.0
71 72		0.0342 0.0370	66240 63977	22632365	12.6		71	0.03451 0.03785	79012 76286	2726 2887	13.2 12.5
73		0.0370	61612	2464	12.0 11.5		72 73	0.03783	73398	3046	11.9
73 74		0.0400	59148	2558	11.0		73 74	0.04130	70352	3202	11.4
75		0.0453	56590	2647	10.5		7 4 75	0.04989	67151	3350	10.7
76		0.0408	53943	2728	10.5		76	0.04767	63801	3488	10.7
77		0.0547	51215	2800	9.5		77	0.05991	60312	3613	9.5
78		0.0547	48414	2862	9.0		78	0.06562	56699	3721	9.1
7 9		0.0639	45552	2910	8.6		79	0.00302	52978	3807	8.9
80		0.0690	42643	2943	8.2		80	0.07867	49171	3868	8.6
81		0.0744	39699	2954	7.8		81	0.08753	45303	3965	8.5
82		0.0801	36745	2942	7.4		82	0.09707	41338	4013	8.3
83		0.0860	33803	2906	7.1		83	0.10732	37325	4006	8.1
						l					

84	0.0921	30897	2846	6.8	84	0.11827	33319	3941	7.9
85	0.0985	28052	2762	6.4	85	0.12993	29379	3817	7.7
86	0.1050	25290	2656	6.1	86	0.14228	25561	3637	7.5
87	0.1118	22633	2531	5.9	87	0.15531	21924	3405	7.3
88	0.1188	20102	2388	5.6	88	0.16899	18519	3130	7.1
89	0.1259	17714	2231	5.3	89	0.18329	15390	2821	6.8
90	0.1332	15483	2063	5.1	90	0.19816	12569	2491	6.6
91	0.1407	13421	1888	4.9	91	0.21356	10078	2152	6.4
92	0.1482	11533	1709	4.7	92	0.22943	7926	1818	6.2
93	0.1558	9824	1531	4.5	93	0.24570	6108	1501	5.9
94	0.1635	8293	1356	4.3	94	0.26231	4607	1208	5.7
95	0.1712	6938	1187	4.1	95	0.27918	3398	949	5.5
96	0.1789	5750	1029	4.0	96	0.29622	2450	726	5.2
97	0.1865	4722	881	3.8	97	0.31336	1724	540	5.0
98	0.1942	3841	746	3.7	98	0.33051	1184	391	4.8
99	0.2017	3095	624	3.6	99	0.34758	793	275	4.5
100	0.2091	2471	517	3.4	100	0.36448	517	188	4.3
101	0.2164	1954	423	3.3	101	0.38113	329	125	4.0
102	0.2235	1531	342	3.2	102	0.39745	203	81	3.8
103	0.2304	1189	274	3.1	103	0.41337	123	51	3.5
104	0.2371	915	217	3.0	104	0.42879	72	31	3.2
105	0.2435	698	170	2.9	105	0.44367	41	18	2.9
106	0.2496	528	132	2.8	106	0.45792	23	10	2.6
107	0.2555	396	101	2.6	107	0.47149	12	6	2.2
108	0.2610	295	77	2.5	108	0.48434	7	3	1.8
109	0.2661	218	58	2.4	109	0.49641	3	2	1.2

Tableau I-2 : Tables de mortalité en 2019

	Hor	mmes				Fe	emmes		
Age	qx	Sx	Dx	EVX	Age	qx	Sx	Dx	EVX
0	0.0130	100000	1305	74.6	0	0.01025	100000	1025	78.0
1	0.0007	98695	64	74.6	1	0.00046	98975	45	77.8
2	0.0006	98631	60	73.6	2	0.00024	98930	24	76.8
3	0.0004	98572	37	72.7	3	0.00017	98906	17	75.8
4	0.0003	98534	32	71.7	4	0.00016	98889	16	74.8
5	0.0004	98503	41	70.7	5	0.00030	98873	30	73.8
6	0.0004	98462	37	69.7	6	0.00037	98843	36	72.9
7	0.0003	98425	33	68.8	7	0.00013	98807	13	71.9
8	0.0003	98392	26	67.8	8	0.00014	98794	13	70.9
9	0.0003	98365	32	66.8	9	0.00014	98781	14	69.9
10	0.0004	98333	41	65.8	10	0.00025	98767	24	68.9
11	0.0004	98293	37	64.9	11	0.00012	98742	12	67.9
12	0.0003	98256	30	63.9	12	0.00015	98731	14	66.9
13	0.0004	98226	34	62.9	13	0.00016	98716	16	66.0
14	0.0003	98192	34	61.9	14	0.00025	98700	25	65.0
15	0.0007	98158	67	60.9	15	0.00021	98675	21	64.0
16	0.0007	98091	73	60.0	16	0.00031	98654	30	63.0
17	0.0007	98018	70	59.0	17	0.00014	98624	14	62.0
18	0.0008	97948	79	58.1	18	0.00025	98610	24	61.0
19	0.0007	97870	66	57.1	19	0.00039	98586	39	60.0
20	0.0008	97803	79	56.2	20	0.00024	98547	23	59.1
21	0.0013	97724	123	55.2	21	0.00027	98524	27	58.1
22	0.0012	97601	116	54.3	22	0.00023	98497	23	57.1
23	0.0013	97485	124	53.3	23	0.00042	98474	42	56.1
24	0.0009	97361	92	52.4	24	0.00041	98433	40	55.1
25	0.0009	97269	88	51.5	25	0.00022	98392	22	54.2
26	0.0010	97182	101	50.5	26	0.00038	98370	37	53.2
27	0.0009	97081	92	49.6	27	0.00040	98333	39	52.2
28	0.0011	96989	111	48.6	28	0.00031	98294	30	51.2
29	0.0014	96878	131	47.7	29	0.00035	98264	35 50	50.2
30	0.0010	96746	95	46.7	30	0.00051	98229	50	49.2
31	0.0013	96651	122	45.8	31	0.00038	98179	37	48.3
32	0.0014	96529	132	44.8	32	0.00047	98142	46	47.3
33	0.0012	96398	118	43.9	33	0.00044	98095	43	46.3
34	0.0019	96279	186	42.9	34	0.00033	98053	32	45.3
35	0.0013	96093	126	42.0	35	0.00095	98020	94	44.3
36	0.0020	95967	190	41.1	36	0.00067	97927	66 50	43.4
37	0.0014	95777	135	40.2	37	0.00059	97861	58	42.4
38	0.0017	95642	161	39.2	38	0.00055	97803	53	41.4
39	0.0021	95480	201	38.3	39	0.00093	97750	91 71	40.5
40	0.0024	95279	224	37.4	40	0.00073	97659	71	39.5

41	0.0020	95055	193	36.5	41	0.00115	97588	112	38.5
42	0.0025	94863	236	35.5	42	0.00113	97476	104	37.6
43	0.0028	94627	262	34.6	43	0.00107	97372	123	36.6
44	0.0021	94365	203	33.7	44	0.00127	97249	148	35.7
45	0.0027	94163	257	32.8	45	0.00101	97100	98	34.7
46	0.0027	93906	253	31.9	46	0.00135	97002	131	33.7
47	0.0027	93653	321	31.0	47	0.00168	96871	163	32.8
48	0.0034	93331	275	30.1	48	0.00204	96708	197	31.8
49	0.0043	93056	404	29.2	49	0.00245	96511	237	30.9
50	0.0056	92652	517	28.3	50	0.00213	96274	216	30.0
51	0.0062	92135	569	27.4	51	0.00221	96059	281	29.0
52	0.0065	91566	599	26.6	52	0.00273	95778	262	28.1
53	0.0063	90967	570	25.8	53	0.00279	95516	266	27.2
54	0.0059	90398	537	25.0	54	0.00185	95250	176	26.3
55	0.0067	89861	599	24.1	55	0.00361	95074	343	25.3
56	0.0090	89262	800	23.3	56	0.00460	94731	435	24.4
57	0.0123	88462	1091	22.5	57	0.00583	94295	550	23.5
58	0.0124	87371	1081	21.8	58	0.00426	93745	399	22.7
59	0.0133	86290	1151	21.0	59	0.00390	93346	364	21.8
60	0.0144	85139	1224	20.3	60	0.00685	92982	637	20.8
61	0.0155	83916	1300	19.6	61	0.00779	92345	720	20.0
62	0.0167	82616	1379	18.9	62	0.00995	91625	912	19.1
63	0.0180	81237	1461	18.2	63	0.01143	90713	1037	18.3
64	0.0194	79776	1546	17.6	64	0.00722	89676	648	17.5
65	0.0209	78230	1633	16.9	65	0.00743	89029	662	16.6
66	0.0225	76597	1723	16.3	66	0.01274	88367	1125	15.8
67	0.0242	74874	1814	15.7	67	0.02052	87241	1790	15.0
68	0.0261	73060	1907	15.1	68	0.01814	85451	1550	14.3
69	0.0281	71152	2001	14.5	69	0.01165	83901	978	13.5
70	0.0303	69152	2094	13.9	70	0.03014	82923	2499	12.7
71	0.0326	67057	2187	13.3	71	0.03306	80424	2658	12.1
72	0.0351	64870	2278	12.8	72	0.03625	77766	2819	11.5
73	0.0378	62592	2367	12.2	73	0.03975	74947	2979	10.9
74	0.0407	60225	2452	11.7	74	0.04358	71968	3136	10.3
75	0.0438	57772	2532	11.2	75	0.04776	68832	3288	9.7
76	0.0472	55240	2606	10.7	76	0.05234	65544	3431	9.2
77	0.0508	52634	2673	10.3	77	0.05734	62113	3562	8.7
78	0.0546	49961	2730	9.8	78	0.06281	58551	3678	8.2
79	0.0588	47231	2777	9.4	79	0.06878	54874	3774	7.7
80	0.0632	44454	2811	9.0	80	0.07529	51100	3847	7.2
81	0.0679	41643	2828	8.6	81	0.08378	47252	3959	6.8
82	0.0728	38815	2824	8.2	82	0.09294	43293	4024	6.3
83	0.0778	35991	2800	7.8	83	0.10278	39270	4036	5.9
84	0.0830	33191	2756	7.5	84	0.11330	35234	3992	5.6

85	0.0885	30434	2692	7.2	85	0.12450	31242	3890	5.2
86	0.0941	27742	2609	6.9	86	0.13637	27352	3730	4.9
87	0.0998	25133	2508	6.6	87	0.14891	23622	3518	4.6
88	0.1057	22624	2391	6.3	88	0.16208	20105	3259	4.3
89	0.1117	20233	2260	6.0	89	0.17586	16846	2963	4.0
90	0.1179	17973	2118	5.8	90	0.19020	13883	2641	3.8
91	0.1241	15854	1968	5.6	91	0.20507	11243	2306	3.6
92	0.1304	13887	1811	5.3	92	0.22040	8937	1970	3.3
93	0.1368	12076	1652	5.1	93	0.23613	6968	1645	3.2
94	0.1432	10424	1493	4.9	94	0.25221	5322	1342	3.0
95	0.1497	8931	1337	4.8	95	0.26855	3980	1069	2.8
96	0.1561	7594	1186	4.6	96	0.28508	2911	830	2.7
97	0.1625	6408	1042	4.4	97	0.30172	2081	628	2.5
98	0.1689	5367	907	4.3	98	0.31839	1453	463	2.4
99	0.1752	4460	781	4.1	99	0.33500	991	332	2.3
100	0.1814	3679	667	4.0	100	0.35147	659	232	2.2
101	0.1875	3011	565	3.8	101	0.36771	427	157	2.1
102	0.1935	2447	473	3.7	102	0.38365	270	104	2.0
103	0.1993	1973	393	3.6	103	0.39921	166	66	1.9
104	0.2049	1580	324	3.4	104	0.41431	100	41	1.8
105	0.2102	1256	264	3.3	105	0.42888	59	25	1.7
106	0.2154	992	214	3.2	106	0.44287	33	15	1.6
107	0.2203	779	172	3.0	107	0.45621	19	9	1.6
108	0.2250	607	137	2.8	108	0.46884	10	5	1.4
109	0.2293	470	108	2.6	109	0.48072	5	3	1.3

Tableau I-3: Tables de mortalité en 2024

	Hon	nmes					Femmes	6	
Age	Qx	Sx	Dx	Evx	Age	Qx	Sx	Dx	Evx
0	0.0108	100000	1085	75.5	0	0.00845	100000	1025	78.7
1	0.0005	98915	45	75.4	1	0.00030	99155	45	78.3
2	0.0005	98870	48	74.4	2	0.00016	99125	24	77.4
3	0.0003	98821	29	73.4	3	0.00011	99109	17	76.4
4	0.0003	98792	25	72.4	4	0.00011	99098	16	75.4
5	0.0004	98767	35	71.5	5	0.00025	99087	30	74.4
6	0.0003	98732	32	70.5	6	0.00033	99062	36	73.4
7	0.0003	98700	29	69.5	7	0.00010	99029	13	72.4
8	0.0002	98671	22	68.5	8	0.00010	99019	13	71.4
9	0.0003	98649	28	67.5	9	0.00011	99009	14	70.4
10	0.0004	98621	38	66.6	10	0.00022	98998	24	69.5
11	0.0003	98582	34	65.6	11	0.00009	98976	12	68.5
12	0.0003	98548	26	64.6	12	0.00012	98967	14	67.5
13	0.0003	98522	30	63.6	13	0.00013	98955	16	66.5
14	0.0003	98491	29	62.7	14	0.00022	98942	25	65.5
15	0.0007	98463	65	61.7	15	0.00018	98920	21	64.5
16	0.0007	98398	71	60.7	16	0.00028	98902	30	63.5
17	0.0007	98327	66	59.8	17	0.00011	98874	14	62.5
18	0.0008	98261	74	58.8	18	0.00021	98864	24	61.5
19	0.0006	98186	60	57.8	19	0.00037	98844	39	60.6
20	0.0007	98127	73	56.9	20	0.00020	98807	23	59.6
21	0.0013	98054	126	55.9	21	0.00022	98787	27	58.6
22	0.0012	97928	115	55.0	22	0.00018	98765	23	57.6
23	0.0013	97813	128	54.1	23	0.00039	98747	42	56.6
24	0.0009	97686	86	53.1	24	0.00037	98708	40	55.6
25	0.0008	97600	80	52.2	25	0.00017	98671	22	54.7
26	0.0010	97520	96	51.2	26	0.00033	98654	37	53.7
27	0.0009	97424	85	50.3	27	0.00035	98622	39	52.7
28	0.0011	97339	106	49.3	28	0.00025	98588	30	51.7
29	0.0014	97233	132	48.4	29	0.00029	98563	35 50	50.7
30	0.0009	97102	85	47.4	30	0.00044	98534	50	49.7
31	0.0012	97016	116	46.5	31	0.00032	98490	37	48.7
32	0.0013	96900	125	45.5	32	0.00040	98459	46	47.8
33	0.0011	96775	109	44.6	33	0.00036	98420	43	46.8
34	0.0020	96666	194	43.6	34	0.00025	98384	32	45.8
35	0.0012	96472	119	42.7	35	0.00092	98360	94	44.8
36	0.0020	96353	193	41.8	36	0.00058	98269	66 50	43.9
37	0.0013	96160	126	40.9	37	0.00050	98212	58 52	42.9
38	0.0016	96034	154	39.9	38	0.00045	98163	53	41.9
39	0.0021	95880	202	39.0	39	0.00083	98119	91 71	40.9
40	0.0024	95678	225	38.1	40	0.00061	98038	71	39.9

41	0.0019	95454	183	37.1	41	0.00105	97978	112	39.0
42	0.0019	95271	231	36.2	42	0.00103	97875	104	38.0
43	0.0024	95040	263	35.3	43	0.00090	97781	123	37.1
44	0.0028	94778	184	34.4	44	0.00113	97670	148	36.1
45	0.0019	94778	246	33.5	45	0.00141	97533	98	35.1
45 46	0.0026	94344	233	32.6	46	0.00084	97353	131	34.2
47	0.0023	94115	311	31.6	47	0.00118	97336	163	33.2
48	0.0033	93804	248	30.7	48	0.00133	97187	103	32.3
49	0.0020	93556	395	29.8	49	0.00191	97001	237	31.3
50	0.0042	93161	519	29.0	50	0.00230	96772	216	30.4
51	0.0050	92642	579	28.1	51	0.00202	96577	281	29.5
52	0.0066	92062	604	27.3	52	0.00253	96304	262	28.5
53	0.0060	91459	546	26.5	53	0.00257	96060	266	27.6
54	0.0055	90912	498	25.6	54	0.00257	95814	176	26.7
55	0.0062	90414	558	24.8	55	0.00330	95670	343	25.7
56	0.0088	89856	787	23.9	56	0.00330	95354	435	24.8
57	0.0129	89069	1152	23.1	57	0.00575	94936	550	23.9
58	0.0126	87917	1104		58	0.00379	94390	399	23.0
59	0.0135	86813	1170		59	0.00331	94032	364	22.1
60	0.0144	85643	1238	21.0	60	0.00638	93721	637	21.2
61	0.0155	84406	1308		61	0.00736	93123	720	20.3
62	0.0166	83097	1381	19.7	62	0.00974	92438	912	19.5
63	0.0178	81716	1457	19.0	63	0.01137	91537	1037	18.7
64	0.0191	80260	1534	18.3	64	0.00614	90497	648	17.9
65	0.0205	78725	1614	17.7	65	0.00621	89941	662	17.0
66	0.0220	77112	1695	17.1	66	0.01187	89383	1125	16.1
67	0.0236	75417	1777	16.4	67	0.02102	88322	1790	15.3
68	0.0253	73639	1861	15.8	68	0.01767	86465	1550	14.6
69	0.0271	71778	1945	15.3	69	0.00991	84938	978	13.8
70	0.0290	69834	2028	14.7	70	0.02887	84096	2499	13.0
71	0.0311	67806	2111	14.1	71	0.03166	81668	2658	12.3
72	0.0334	65695	2192	13.6	72	0.03472	79082	2819	11.7
73	0.0358	63502	2271	13.0	73	0.03806	76336	2979	11.1
74	0.0383	61231	2347		74	0.04172	73430	3136	10.6
75	0.0411	58884	2419		75	0.04573	70367	3288	10.0
76	0.0440	56466	2485		76	0.05011	67149	3431	9.5
77	0.0471	53981	2545		77	0.05489	63784	3562	8.9
78	0.0505	51435	2598		78	0.06012	60283	3678	8.4
79	0.0541	48838	2642		79	0.06582	56659	3774	7.9
80	0.0579	46196	2676		80	0.07205	52930	3847	7.4
81	0.0619	43519	2695	9.4	81	0.08019	49116	3959	7.0
82	0.0661	40824	2698	9.0	82	0.08897	45178	4024	6.6
83	0.0704	38126	2684	8.6	83	0.09841	41158	4036	6.1
84	0.0749	35442	2653	8.3	84	0.10852	37108	3992	5.8

0=	0.0505	22500	2 < 0 =	0.0	ı	0=	0.44020	22001	2000	
85	0.0795	32789	2605	8.0		85	0.11928	33081	3890	5.4
86	0.0842	30184	2541	7.6		86	0.13069	29135	3730	5.1
87	0.0890	27643	2461	7.3		87	0.14275	25327	3518	4.7
88	0.0940	25182	2367	7.1		88	0.15543	21712	3259	4.5
89	0.0991	22815	2260	6.8		89	0.16870	18337	2963	4.2
90	0.1042	20555	2142	6.5		90	0.18253	15244	2641	3.9
91	0.1094	18413	2015	6.3		91	0.19687	12461	2306	3.7
92	0.1147	16398	1881	6.1		92	0.21167	10008	1970	3.5
93	0.1201	14517	1743	5.8		93	0.22688	7890	1645	3.3
94	0.1254	12774	1602	5.6		94	0.24243	6100	1342	3.1
95	0.1308	11172	1461	5.4		95	0.25825	4621	1069	2.9
96	0.1362	9711	1322	5.2		96	0.27427	3428	830	2.8
97	0.1415	8388	1187	5.1		97	0.29042	2487	628	2.6
98	0.1468	7201	1057	4.9		98	0.30660	1765	463	2.5
99	0.1521	6144	934	4.7		99	0.32275	1224	332	2.4
100	0.1573	5209	819	4.6		100	0.33878	829	232	2.2
101	0.1624	4390	713	4.4		101	0.35462	548	157	2.1
102	0.1674	3677	615	4.2		102	0.37017	354	104	2.0
103	0.1722	3062	527	4.1		103	0.38536	223	66	2.0
104	0.1769	2534	448	3.9		104	0.40013	137	41	1.9
105	0.1814	2086	378	3.7		105	0.41440	82	25	1.8
106	0.1858	1708	317	3.5		106	0.42811	48	15	1.7
107	0.1899	1390	264	3.3		107	0.44119	28	9	1.6
108	0.1939	1126	218	3.1		108	0.45360	15	5	1.5
109	0.1976	908	179	2.8		109	0.46528	8	3	1.3
					-					

Tableau I-4 : Tables de mortalité en 2029

	Hon	nmes					Femmes	}	
Age	Qx	Sx	Dx	Evx	Age	Qx	Sx	Dx	Evx
0	0.0090	100000	902	76.5	0	0.00575	100000	697	79.3
1	0.0003	99098	32	76.2	1	0.00014	99425	20	78.9
2	0.0004	99066	39	75.2	2	0.00007	99412	10	77.9
3	0.0002	99027	23	74.2	3	0.00005	99405	7	76.9
4	0.0002	99004	20	73.2	4	0.00005	99400	8	75.9
5	0.0003	98983	30	72.3	5	0.00018	99395	21	74.9
6	0.0003	98954	28	71.3	6	0.00027	99377	30	73.9
7	0.0002	98926	25	70.3	7	0.00005	99350	7	72.9
8	0.0002	98901	19	69.3	8	0.00006	99345	8	71.9
9	0.0002	98882	25	68.3	9	0.00006	99339	8	71.0
10	0.0004	98858	36	67.3	10	0.00018	99332	20	70.0
11	0.0003	98821	32	66.4	11	0.00005	99314	7	69.0
12	0.0002	98789	23	65.4	12	0.00008	99309	9	68.0
13	0.0003	98766	27	64.4	13	0.00009	99301	11	67.0
14	0.0002	98739	25	63.4	14	0.00017	99293	19	66.0
15	0.0006	98715	63	62.4	15	0.00013	99276	15	65.0
16	0.0007	98651	69	61.5	16	0.00024	99263	26	64.0
17	0.0006	98582	62	60.5	17	0.00006	99239	8	63.0
18	0.0007	98521	70	59.6	18	0.00015	99233	17	62.0
19	0.0005	98450	53	58.6	19	0.00034	99219	35	61.0
20	0.0007	98397	66	57.6	20	0.00013	99185	16	60.1
21	0.0013	98330	129	56.7	21	0.00016	99172	18	59.1
22	0.0012	98202	114	55.7	22	0.00011	99157	14	58.1
23	0.0013	98088	131	54.8	23	0.00034	99146	36	57.1
24	0.0008	97956	80	53.9	24	0.00031	99111	34	56.1
25	0.0008	97877	73	52.9	25	0.00010	99081	13	55.1
26	0.0009	97803	92	52.0	26	0.00025	99070	29	54.1
27	0.0008	97712	78	51.0	27	0.00026	99045	30	53.2
28	0.0010	97634	101	50.1	28	0.00016	99019	20	52.2
29	0.0014	97533	132	49.1	29	0.00020	99003	24	51.2
30	0.0008	97401	77	48.2	30	0.00033	98983	38	50.2
31	0.0011	97325	111	47.2	31	0.00022	98950	26	49.2
32	0.0012	97214	119	46.3	32	0.00029	98929	34	48.2
33	0.0010	97095	101	45.3	33	0.00025	98900	29	47.2
34	0.0021	96994	202	44.4	34	0.00015	98876	19	46.3
35	0.0012	96792	112	43.5	35	0.00086	98861	88	45.3
36	0.0020	96680	195	42.5	36	0.00043	98776	49	44.3
37	0.0012	96484	117	41.6	37	0.00035	98734	41	43.3
38	0.0015	96367	146	40.7	38	0.00031	98699	37	42.3
39	0.0021	96221	202	39.7	39	0.00066	98668	73 50	41.4
40	0.0023	96019	226	38.8	40	0.00042	98603	50	40.4

	1								
41	0.0018	95793	173	37.9	41	0.00088	98562	95	39.4
42	0.0024	95620	226	37.0	42	0.00078	98474	85	38.5
43	0.0028	95394	263	36.0	43	0.00091	98398	100	37.5
44	0.0017	95131	166	35.1	44	0.00120	98308	127	36.5
45	0.0025	94965	235	34.2	45	0.00058	98191	68	35.6
46	0.0023	94730	215	33.3	46	0.00090	98134	101	34.6
47	0.0032	94515	301	32.4	47	0.00127	98046	137	33.6
48	0.0024	94214	223	31.5	48	0.00167	97921	174	32.7
49	0.0041	93991	387	30.5	49	0.00219	97758	221	31.7
50	0.0056	93604	521	29.7	50	0.00163	97544	176	30.8
51	0.0063	93083	590	28.8	51	0.00265	97384	266	29.9
52	0.0066	92494	608	28.0	52	0.00218	97126	227	28.9
53	0.0057	91886	523	27.2	53	0.00218	96915	228	28.0
54	0.0051	91363	462	26.4	54	0.00098	96704	117	27.1
55	0.0057	90901	519	25.5	55	0.00276	96609	290	26.1
56	0.0086	90381	774	24.6	56	0.00400	96342	402	25.2
57	0.0136	89607	1216	23.9	57	0.00558	95956	541	24.3
58	0.0127	88391	1127	23.2	58	0.00300	95421	320	23.4
59	0.0136	87264	1188	22.5	59	0.00237	95135	265	22.5
60	0.0145	86076	1251	21.8	60	0.00554	94909	561	21.6
61	0.0155	84826	1315	21.1	61	0.00656	94383	652	20.7
62	0.0166	83510	1382	20.5	62	0.00933	93764	888	19.8
63	0.0177	82128	1451	19.8	63	0.01124	92889	1043	19.0
64	0.0189	80677	1521	19.2	64	0.00443	91845	476	18.2
65	0.0201	79156	1593	18.5	65	0.00433	91437	471	17.3
66	0.0215	77563	1666		66	0.01031	91041	999	16.4
67	0.0229	75897	1740		67	0.02206	90102	1923	15.6
68	0.0245	74157	1814		68	0.01675	88114	1502	14.9
69	0.0261	72343	1888		69	0.00716	86639	723	14.2
70	0.0279	70455	1962	15.6	70	0.02650	86018	2355	13.3
71	0.0297	68492	2035		71	0.02905	83739	2510	12.6
72	0.0317	66457	2107		72	0.03185	81306	2669	12.0
73	0.0338	64350			73	0.03491	78716	2828	11.4
74	0.0361	62174	2243		74	0.03825	75969	2987	10.8
75	0.0385	59931	2306		75	0.04191	73063	3142	10.3
76	0.0410	57624	2365		76	0.04591	70001	3292	9.7
77	0.0438	55259	2419		77	0.05028	66787	3433	9.2
78	0.0467	52840			78	0.05506	63429	3562	8.7
79	0.0498	50374	2507	11.1	79	0.06027	59937	3675	8.2
80	0.0531	47867	2540		80	0.06596	56325	3769	7.7
81	0.0565	45327	2560	10.3	81	0.07344	52609	3906	7.2
82	0.0600	42767	2567	9.9	82	0.08152	48746	4003	6.8
83	0.0637	40200	2560	9.5	83	0.09021	44772	4051	6.3
84	0.0674	37640	2539	9.2	84	0.09952	40733	4047	5.9

85	0.0713	35102	2504	8.8	85	0.10944	36679	3987	5.6
86	0.0753	32598	2455	8.5	86	0.11998	32665	3871	5.2
87	0.0794	30143	2393	8.2	87	0.13113	28746	3699	4.9
88	0.0835	27750	2318	7.9	88	0.14286	24976	3478	4.6
89	0.0878	25431	2233	7.6	89	0.15516	21408	3213	4.3
90	0.0921	23199	2137	7.4	90	0.16800	18086	2915	4.1
91	0.0965	21062	2032	7.1	91	0.18132	15048	2594	3.8
92	0.1009	19031	1920	6.8	92	0.19511	12319	2263	3.6
93	0.1053	17111	1802	6.6	93	0.20929	9916	1934	3.4
94	0.1098	15309	1681	6.4	94	0.22381	7841	1617	3.2
95	0.1143	13628	1557	6.2	95	0.23862	6086	1321	3.0
96	0.1187	12071	1433	6.0	96	0.25364	4634	1055	2.9
97	0.1232	10638	1311	5.8	97	0.26881	3458	823	2.7
98	0.1276	9327	1190	5.6	98	0.28405	2529	626	2.6
99	0.1320	8137	1074	5.4	99	0.29928	1810	465	2.5
100	0.1364	7062	963	5.2	100	0.31443	1269	337	2.3
101	0.1406	6099	858	5.0	101	0.32943	870	237	2.2
102	0.1448	5242	759	4.8	102	0.34419	583	163	2.1
103	0.1488	4483	667	4.6	103	0.35864	382	109	2.0
104	0.1528	3816	583	4.4	104	0.37272	245	71	1.9
105	0.1566	3233	506	4.2	105	0.38635	154	45	1.9
106	0.1603	2726	437	3.9	106	0.39947	94	28	1.8
107	0.1638	2289	375	3.7	107	0.41202	57	17	1.7
108	0.1672	1914	320	3.4	108	0.42395	33	10	1.5
109	0.1704	1594	272	3.0	109	0.43520	19	6	1.3

Tableau I-5 : Tables de mortalité en 2034

	Hom	mes					Femme	S	
Age	Qx	Sx	Dx	Evx	Age	Qx	Sx	Dx	Evx
0	0.0075	100000	750	77.4	0	0.00575	100000	575	79.9
1	0.0002	99250	23	77.0	1	0.00014	99425	14	79.4
2	0.0003	99227	31	76.0	2	0.00007	99412	7	78.4
3	0.0002	99196	18	75.1	3	0.00005	99405	5	77.4
4	0.0002	99178	16	74.1	4	0.00005	99400	5	76.4
5	0.0003	99162	25	73.1	5	0.00018	99395	18	75.4
6	0.0002	99136	24	72.1	6	0.00027	99377	27	74.4
7	0.0002	99112	21	71.1	7	0.00005	99350	5	73.4
8	0.0002	99091	16	70.1	8	0.00006	99345	6	72.4
9	0.0002	99074	21	69.1	9	0.00006	99339	6	71.4
10	0.0003	99053	34	68.2	10	0.00018	99332	18	70.4
11	0.0003	99019	30	67.2	11	0.00005	99314	5	69.5
12	0.0002	98989	20	66.2	12	0.00008	99309	7	68.5
13	0.0002	98969	24	65.2	13	0.00009	99301	9	67.5
14	0.0002	98945	21	64.2	14	0.00017	99293	17	66.5
15	0.0006	98924	62	63.3	15	0.00013	99276	13	65.5
16	0.0007	98862	67	62.3	16	0.00024	99263	24	64.5
17	0.0006	98795	58	61.3	17	0.00006	99239	6	63.5
18	0.0007	98737	66	60.4	18	0.00015	99233	14	62.5
19	0.0005	98671	48	59.4	19	0.00034	99219	34	61.5
20	0.0006	98623	61	58.4	20	0.00013	99185	13	60.5
21	0.0013	98562	132	57.5	21	0.00016	99172	15	59.5
22	0.0011	98430	113	56.6	22	0.00011	99157	11	58.6
23	0.0014	98317	135	55.6	23	0.00034	99146	34	57.6
24	0.0008	98182	74	54.7	24	0.00031	99111	31	56.6
25	0.0007	98109	67	53.7	25	0.00010	99081	10	55.6
26	0.0009	98041	88	52.8	26	0.00025	99070	25	54.6
27	0.0007	97954	71	51.8	27	0.00026	99045	26	53.6
28	0.0010	97883	97	50.9	28	0.00016	99019	16	52.6
29	0.0013	97786	132	49.9	29	0.00020	99003	20	51.6
30	0.0007	97654	69	49.0	30	0.00033	98983	33	50.7
31	0.0011	97586	106	48.0	31	0.00022	98950	21	49.7
32	0.0012	97480	113	47.1	32	0.00029	98929	29	48.7
33	0.0010	97367	93	46.1	33	0.00025	98900	24	47.7
34	0.0022	97274	210	45.2	34	0.00015	98876	15	46.7
35 36	0.0011 0.0020	97064 96958	106 198	44.3 43.3	35 36	0.00086 0.00043	98861 98776	85 42	45.7 44.7
36 37	0.0020	96938 96760	198	43.3 42.4	36 37	0.00043	98776 98734	42 35	44.7
38	0.0011	96651	139	42.4	38	0.00033	98699	30	42.8
39	0.0014	96512	203	40.5	39	0.00031	98668	65	41.8
40	0.0021	96309	203	39.6	40	0.00042	98603	42	40.8
70	0.0023	20302	44 0	37.0	70	0.00042	20002	44	70.0

41	0.0017	96083	164	38.7	41	0.00088	98562	87	39.8
42	0.0023	95919	220	37.7	42	0.00078	98474	77	38.9
43	0.0028	95699	264	36.8	43	0.00091	98398	89	37.9
44	0.0016	95435	150	35.9	44	0.00120	98308	118	36.9
45	0.0024	95285	225	35.0	45	0.00058	98191	57	36.0
46	0.0021	95060	198	34.1	46	0.00090	98134	88	35.0
47	0.0031	94862	291	33.1	47	0.00127	98046	125	34.0
48	0.0021	94571	200	32.2	48	0.00167	97921	164	33.1
49	0.0040	94370	378	31.3	49	0.00219	97758	214	32.1
50	0.0056	93992	522	30.4	50	0.00163	97544	159	31.2
51	0.0064	93470	600	29.6	51	0.00265	97384	258	30.3
52	0.0066	92870	612	28.8	52	0.00218	97126	211	29.3
53	0.0054	92258	501	28.0	53	0.00218	96915	211	28.4
54	0.0047	91757	428	27.1	54	0.00098	96704	95	27.5
55	0.0053	91330	483	26.3	55	0.00276	96609	267	26.5
56	0.0084	90846	760	25.4	56	0.00400	96342	386	25.6
57	0.0142	90086	1283	24.6	57	0.00558	95956	536	24.7
58	0.0129	88803	1149	24.0	58	0.00300	95421	286	23.8
59	0.0137	87654	1205	23.3	59	0.00237	95135	226	22.9
60	0.0146	86448	1263	22.6	60	0.00554	94909	526	21.9
61	0.0155	85186	1322	22.0	61	0.00656	94383	620	21.0
62	0.0165	83864	1382	21.3	62	0.00933	93764	875	20.2
63	0.0175	82481	1444	20.7	63	0.01124	92889	1044	19.4
64	0.0186	81037	1507	20.0	64	0.00443	91845	407	18.6
65	0.0198	79530	1572	19.4	65	0.00433	91437	396	17.6
66	0.0210	77958	1636	18.8	66	0.01031	91041	939	16.7
67	0.0223	76322	1702	18.2	67	0.02206	90102	1988	15.9
68	0.0237	74620	1767	17.6	68	0.01675	88114	1476	15.2
69	0.0251	72853	1832	17.1	69	0.00716	86639	620	14.5
70	0.0267	71021	1897	16.5	70	0.02650	86018	2280	13.6
71	0.0284	69124	1961	16.0	71	0.02905	83739	2433	12.9
72	0.0301	67164	2023	15.4	72	0.03185	81306	2589	12.3
73	0.0320	65141	2083	14.9	73	0.03491	78716	2748	11.7
74	0.0340	63058	2141	14.4	74	0.03825	75969	2906	11.1
75	0.0361	60916	2196		75	0.04191	73063	3062	10.5
76	0.0383	58720	2248		76	0.04591	70001	3214	10.0
77	0.0406	56473	2295	12.9	77	0.05028	66787	3358	9.4
78	0.0431	54178	2337	12.5	78	0.05506	63429	3492	8.9
79	0.0458	51841	2373	12.1	79	0.06027	59937	3612	8.4
80	0.0486	49468	2403	11.6	80	0.06596	56325	3715	7.9
81	0.0515	47065	2423	11.2	81	0.07344	52609	3864	7.4
82	0.0545	44641	2432	10.8	82	0.08152	48746	3974	7.0
83	0.0576	42209	2430	10.5	83	0.09021	44772	4039	6.5
84	0.0608	39779	2417	10.1	84	0.09952	40733	4054	6.1

85	0.0640	37362	2392	9.8	85	0.10944	36679	4014	5.8
86	0.0674	34970	2356	9.4	86	0.11998	32665	3919	5.4
87	0.0708	32615	2308	9.1	87	0.13113	28746	3769	5.1
88	0.0742	30306	2250	8.8	88	0.14286	24976	3568	4.8
89	0.0778	28056	2182	8.5	89	0.15516	21408	3322	4.5
90	0.0814	25874	2106	8.2	90	0.16800	18086	3038	4.2
91	0.0850	23768	2021	8.0	91	0.18132	15048	2729	4.0
92	0.0887	21748	1929	7.7	92	0.19511	12319	2404	3.7
93	0.0924	19819	1831	7.4	93	0.20929	9916	2075	3.5
94	0.0961	17988	1729	7.2	94	0.22381	7841	1755	3.3
95	0.0998	16259	1623	6.9	95	0.23862	6086	1452	3.2
96	0.1036	14636	1516	6.7	96	0.25364	4634	1175	3.0
97	0.1073	13120	1408	6.5	97	0.26881	3458	930	2.8
98	0.1110	11713	1300	6.3	98	0.28405	2529	718	2.7
99	0.1146	10413	1194	6.0	99	0.29928	1810	542	2.6
100	0.1183	9219	1090	5.8	100	0.31443	1269	399	2.4
101	0.1218	8129	990	5.6	101	0.32943	870	287	2.3
102	0.1253	7139	895	5.4	102	0.34419	583	201	2.2
103	0.1288	6244	804	5.1	103	0.35864	382	137	2.1
104	0.1321	5440	719	4.9	104	0.37272	245	91	2.0
105		4721	639	4.6	105	0.38635	154	59	1.9
106		4082	565	4.3	106	0.39947	94	38	1.8
107		3516	498	4.0	107	0.41202	57	23	1.7
108		3018	436	3.6	108	0.42395	33	14	1.6
109		2582	380	3.2	109	0.43520	19	8	1.4

Tableau I-6: Tables de mortalité en 2039

Hommes								Femme	S	
Age	e	Qx	Sx	Dx	Evx	Age	Qx	Sx	Dx	Evx
0		0.0062	100000	623	78.4	0	0.00474	100000	474	80.5
1		0.0002	99377	16	77.9	1	0.00009	99526	9	79.9
2		0.0003	99360	25	76.9	2	0.00004	99517	4	78.9
3		0.0001	99335	14	75.9	3	0.00003	99513	3	77.9
4		0.0001	99321	13	74.9	4	0.00004	99510	4	76.9
5		0.0002	99308	22	74.0	5	0.00015	99506	15	75.9
6		0.0002	99286	21	73.0	6	0.00024	99491	24	74.9
7		0.0002	99265	18	72.0	7	0.00004	99467	4	73.9
8		0.0001	99247	14	71.0	8	0.00005	99463	5	72.9
9		0.0002	99233	19	70.0	9	0.00005	99458	5	71.9
10		0.0003	99215	32	69.0	10	0.00016	99453	16	70.9
11		0.0003	99182	28	68.1	11	0.00004	99437	4	69.9
12		0.0002	99154	18	67.1	12	0.00006	99433	6	68.9
13		0.0002	99136	21	66.1	13	0.00007	99427	7	67.9
14		0.0002	99115	18	65.1	14	0.00015	99419	15	66.9
15		0.0006	99098	60	64.1	15	0.00011	99405	11	65.9
16		0.0007	99038	65	63.1	16	0.00022	99393	22	65.0
17		0.0006	98973	55	62.2	17	0.00004	99372	4	64.0
18		0.0006	98918	63	61.2	18	0.00012	99367	12	63.0
19		0.0004	98855	43	60.3	19	0.00032	99355	32	62.0
20		0.0006	98812	55	59.3	20	0.00011	99323	11	61.0
21		0.0014	98757	134	58.3	21	0.00013	99312	13	60.0
22		0.0011	98622	112	57.4	22	0.00009	99300	9	59.0
23		0.0014	98510	139	56.5	23	0.00032	99291	32	58.0
24		0.0007	98371	68	55.5	24	0.00028	99259	28	57.0
25		0.0006	98303	61	54.6	25	0.00008	99231	8	56.0
26		0.0009	98242	84	53.6	26	0.00022	99223	22	55.1
27		0.0007	98158	65	52.7	27	0.00023	99201	23	54.1
28		0.0009	98093	92	51.7	28	0.00013	99178	13	53.1
29		0.0013	98000	132	50.7	29	0.00017	99165	17	52.1
30		0.0006	97869	61	49.8	30	0.00029	99148	28	51.1
31		0.0010	97807	101	48.8	31	0.00018	99120	18	50.1
32		0.0011	97707	107	47.9	32	0.00025	99102	24	49.1
33		0.0009	97599	85	46.9	33	0.00020	99078	20	48.1
34		0.0022	97514	219	46.0	34	0.00011	99058	11	47.1
35		0.0010	97295	100	45.1	35	0.00083	99046	82	46.1
36		0.0021	97195	200	44.1	36	0.00037	98964	37	45.2
37		0.0010	96995	101	43.2	37	0.00030	98927	29	44.2
38		0.0014	96894	132	42.3	38	0.00026	98898	25	43.2
39		0.0021	96761	204	41.3	39	0.00059	98873	58	42.2
40		0.0023	96558	227	40.4	40	0.00035	98814	35	41.2

41	0.0016	96331	155	39.5	41	0.00081	98780	80	40.3
42	0.0022	96176	215	38.6	42	0.00070	98699	69	39.3
43	0.0028	95961	264	37.7	43	0.00081	98630	80	38.3
44	0.0014	95697	136	36.8	44	0.00110	98550	109	37.4
45	0.0022	95561	215	35.8	45	0.00048	98441	47	36.4
46	0.0019	95346	182	34.9	46	0.00078	98394	77	35.4
47	0.0030	95164	281	34.0	47	0.00116	98317	114	34.4
48	0.0019	94883	180	33.1	48	0.00157	98203	154	33.5
49	0.0039	94702	370	32.1	49	0.00211	98049	207	32.5
50	0.0055	94333	523	31.3	50	0.00147	97843	144	31.6
51	0.0065	93810	610	30.4	51	0.00257	97699	251	30.6
52	0.0066	93200	615	29.6	52	0.00202	97448	197	29.7
53	0.0052	92584	479	28.8	53	0.00200	97252	195	28.8
54	0.0043	92105	396	28.0	54	0.00079	97057	77	27.8
55	0.0049	91709	449	27.1	55	0.00253	96980	245	26.9
56	0.0082	91259	747	26.2	56	0.00382	96735	370	25.9
57	0.0149	90513	1353	25.5	57	0.00550	96365	530	25.0
58	0.0131	89160	1171	24.8	58	0.00267	95835	256	24.2
59	0.0139	87989	1222	24.2	59	0.00201	95579	192	23.2
60	0.0147	86767	1274	23.5	60	0.00516	95387	492	22.3
61	0.0155	85493	1327	22.9	61	0.00620	94895	588	21.4
62	0.0164	84165	1382	22.2	62	0.00913	94307	861	20.5
63	0.0174	82783	1437	21.6	63	0.01118	93446	1045	19.7
64	0.0184	81346	1493	21.0	64	0.00377	92401	348	18.9
65	0.0194	79854	1549	20.4	65	0.00362	92053	333	18.0
66	0.0205	78304	1606		66	0.00961	91719	882	17.0
67	0.0217	76698	1663	19.2	67	0.02260	90838	2053	16.2
68	0.0229	75035	1720		68	0.01631	88785	1448	15.6
69	0.0242	73316	1776		69	0.00609	87337	532	14.8
70	0.0256	71539	1832	17.5	70	0.02539	86805	2204	13.9
71	0.0271	69707	1887		71	0.02783	84601	2354	13.3
72	0.0286	67820	1940		72	0.03050	82247	2509	12.6
73	0.0302	65880	1992		73	0.03342	79738	2665	12.0
74 	0.0320	63888	2042		74 	0.03662	77073	2822	11.4
75	0.0338	61846	2089		75	0.04012	74251	2979	10.8
76	0.0357	59757	2133		76	0.04394	71272	3132	10.2
77	0.0377	57624	2173		77	0.04812	68140	3279	9.7
78 70	0.0398	55451	2210		78 70	0.05268	64861	3417	9.2
79 80	0.0421 0.0445	53242 51000	2241 2268		79	0.05767 0.06311	61444 57901	3543 3654	8.6 8.1
81	0.0443	48732	2287		80 81	0.00311	54247	3812	7.6
82	0.0469	46445	2297		82	0.07028	50435	3935	7.0 7.2
83	0.0493	44148	2298		83	0.07802	46500	4016	6.8
84	0.0521	41850	2290		84	0.08030	42484	4048	6.3
04	0.0347	+1030	∠∠ 3 U	11.1	04	0.07327	4404	4040	U.J

0.0574	39560	2273	10.8		85	0.10481	38436	4029	6.0
0.0602	37287	2246	10.4		86	0.11494	34407	3955	5.6
0.0631	35041	2210	10.1		87	0.12565	30453	3826	5.3
0.0660	32831	2166	9.8		88	0.13694	26626	3646	4.9
0.0689	30665	2113	9.4		89	0.14877	22980	3419	4.7
0.0719	28552	2053	9.1		90	0.16113	19561	3152	4.4
0.0749	26499	1986	8.8		91	0.17397	16410	2855	4.1
0.0780	24513	1912	8.6		92	0.18726	13555	2538	3.9
0.0811	22601	1832	8.3		93	0.20094	11017	2214	3.7
0.0842	20769	1748	8.0		94	0.21497	8803	1892	3.5
0.0873	19022	1660	7.7		95	0.22928	6911	1584	3.3
0.0904	17362	1569	7.5		96	0.24381	5326	1299	3.1
0.0935	15793	1476	7.2		97	0.25850	4028	1041	2.9
0.0966	14316	1383	7.0		98	0.27327	2986	816	2.8
0.0997	12934	1289	6.7		99	0.28805	2170	625	2.7
0.1027	11645	1196	6.4		100	0.30276	1545	468	2.5
0.1057	10449	1105	6.2		101	0.31734	1077	342	2.4
0.1087	9344	1016	5.9		102	0.33170	735	244	2.3
0.1116	8329	930	5.6		103	0.34578	492	170	2.2
0.1145	7399	847	5.3		104	0.35950	322	116	2.1
0.1173	6552	769	5.0		105	0.37280	206	77	2.0
0.1200	5783	694	4.7		106	0.38562	129	50	1.9
0.1227	5089	624	4.3		107	0.39789	79	32	1.8
0.1252	4465	559	3.9		108	0.40956	48	20	1.6
0.1277	3906	499	3.4		109	0.42058	28	12	1.4
	0.0602 0.0631 0.0660 0.0689 0.0719 0.0749 0.0780 0.0811 0.0842 0.0873 0.0904 0.0935 0.0966 0.0997 0.1027 0.1027 0.1057 0.1116 0.1145 0.1173 0.1200 0.1227 0.1252	0.0602372870.0631350410.0660328310.0689306650.0719285520.0749264990.0780245130.0811226010.0842207690.0873190220.0904173620.0935157930.0966143160.0997129340.1027116450.1057104490.108793440.111683290.114573990.117365520.120057830.122750890.12524465	0.0602 37287 2246 0.0631 35041 2210 0.0660 32831 2166 0.0689 30665 2113 0.0719 28552 2053 0.0749 26499 1986 0.0780 24513 1912 0.0811 22601 1832 0.0842 20769 1748 0.0873 19022 1660 0.0904 17362 1569 0.0935 15793 1476 0.0966 14316 1383 0.0997 12934 1289 0.1027 11645 1196 0.1087 9344 1016 0.1116 8329 930 0.1145 7399 847 0.1173 6552 769 0.1200 5783 694 0.1252 4465 559	0.0602 37287 2246 10.4 0.0631 35041 2210 10.1 0.0660 32831 2166 9.8 0.0689 30665 2113 9.4 0.0719 28552 2053 9.1 0.0749 26499 1986 8.8 0.0780 24513 1912 8.6 0.0811 22601 1832 8.3 0.0842 20769 1748 8.0 0.0873 19022 1660 7.7 0.0944 17362 1569 7.5 0.0935 15793 1476 7.2 0.0966 14316 1383 7.0 0.0997 12934 1289 6.7 0.1027 11645 1196 6.4 0.1057 10449 1105 6.2 0.1145 7399 847 5.3 0.1173 6552 769 5.0 0.1200 5783 694 4.7 0.1252 4465 559 3.9 <th>0.0602 37287 2246 10.4 0.0631 35041 2210 10.1 0.0660 32831 2166 9.8 0.0689 30665 2113 9.4 0.0719 28552 2053 9.1 0.0749 26499 1986 8.8 0.0780 24513 1912 8.6 0.0811 22601 1832 8.3 0.0842 20769 1748 8.0 0.0873 19022 1660 7.7 0.0904 17362 1569 7.5 0.0935 15793 1476 7.2 0.0966 14316 1383 7.0 0.0997 12934 1289 6.7 0.1027 11645 1196 6.4 0.1057 10449 1105 6.2 0.1087 9344 1016 5.9 0.1145 7399 847 5.3 0.1173 6552 769 5.0 0.1200 5783 694 4.7</th> <th>0.0602 37287 2246 10.4 86 0.0631 35041 2210 10.1 87 0.0660 32831 2166 9.8 88 0.0689 30665 2113 9.4 89 0.0719 28552 2053 9.1 90 0.0749 26499 1986 8.8 91 0.0780 24513 1912 8.6 92 0.0811 22601 1832 8.3 93 0.0842 20769 1748 8.0 94 0.0873 19022 1660 7.7 95 0.0904 17362 1569 7.5 96 0.0935 15793 1476 7.2 97 0.0966 14316 1383 7.0 98 0.0997 12934 1289 6.7 99 0.1027 11645 1196 6.4 100 0.1087 9344 1016 5.9 102 0.1116 8329 930 5.6 103</th> <th>0.0602 37287 2246 10.4 86 0.11494 0.0631 35041 2210 10.1 87 0.12565 0.0660 32831 2166 9.8 88 0.13694 0.0689 30665 2113 9.4 89 0.14877 0.0719 28552 2053 9.1 90 0.16113 0.0749 26499 1986 8.8 91 0.17397 0.0780 24513 1912 8.6 92 0.18726 0.0811 22601 1832 8.3 93 0.20094 0.0842 20769 1748 8.0 94 0.21497 0.0873 19022 1660 7.7 95 0.22928 0.0904 17362 1569 7.5 96 0.24381 0.0935 15793 1476 7.2 97 0.25850 0.0966 14316 1383 7.0 98 0.27327 0.0997 12934 1289 6.7 99 0.28805 0.1027 116</th> <th>0.0602 37287 2246 10.4 86 0.11494 34407 0.0631 35041 2210 10.1 87 0.12565 30453 0.0660 32831 2166 9.8 88 0.13694 26626 0.0689 30665 2113 9.4 89 0.14877 22980 0.0719 28552 2053 9.1 90 0.16113 19561 0.0749 26499 1986 8.8 91 0.17397 16410 0.0780 24513 1912 8.6 92 0.18726 13555 0.0811 22601 1832 8.3 93 0.20094 11017 0.0842 20769 1748 8.0 94 0.21497 8803 0.0873 19022 1660 7.7 95 0.22928 6911 0.0904 17362 1569 7.5 96 0.24381 5326 0.0935 15793 1476 7.2 97 0.25850 4028 0.0997 12934 1289 <t< th=""><th>0.0602 37287 2246 10.4 86 0.11494 34407 3955 0.0631 35041 2210 10.1 87 0.12565 30453 3826 0.0660 32831 2166 9.8 88 0.13694 26626 3646 0.0689 30665 2113 9.4 89 0.14877 22980 3419 0.0719 28552 2053 9.1 90 0.16113 19561 3152 0.0749 26499 1986 8.8 91 0.17397 16410 2855 0.0780 24513 1912 8.6 92 0.18726 13555 2538 0.0811 22601 1832 8.3 93 0.20094 11017 2214 0.0842 20769 1748 8.0 94 0.21497 8803 1892 0.0873 19022 1660 7.7 95 0.22928 6911 1584 0.0904 17362 1569 7.5 96 0.24381 5326 1299 0.0</th></t<></th>	0.0602 37287 2246 10.4 0.0631 35041 2210 10.1 0.0660 32831 2166 9.8 0.0689 30665 2113 9.4 0.0719 28552 2053 9.1 0.0749 26499 1986 8.8 0.0780 24513 1912 8.6 0.0811 22601 1832 8.3 0.0842 20769 1748 8.0 0.0873 19022 1660 7.7 0.0904 17362 1569 7.5 0.0935 15793 1476 7.2 0.0966 14316 1383 7.0 0.0997 12934 1289 6.7 0.1027 11645 1196 6.4 0.1057 10449 1105 6.2 0.1087 9344 1016 5.9 0.1145 7399 847 5.3 0.1173 6552 769 5.0 0.1200 5783 694 4.7	0.0602 37287 2246 10.4 86 0.0631 35041 2210 10.1 87 0.0660 32831 2166 9.8 88 0.0689 30665 2113 9.4 89 0.0719 28552 2053 9.1 90 0.0749 26499 1986 8.8 91 0.0780 24513 1912 8.6 92 0.0811 22601 1832 8.3 93 0.0842 20769 1748 8.0 94 0.0873 19022 1660 7.7 95 0.0904 17362 1569 7.5 96 0.0935 15793 1476 7.2 97 0.0966 14316 1383 7.0 98 0.0997 12934 1289 6.7 99 0.1027 11645 1196 6.4 100 0.1087 9344 1016 5.9 102 0.1116 8329 930 5.6 103	0.0602 37287 2246 10.4 86 0.11494 0.0631 35041 2210 10.1 87 0.12565 0.0660 32831 2166 9.8 88 0.13694 0.0689 30665 2113 9.4 89 0.14877 0.0719 28552 2053 9.1 90 0.16113 0.0749 26499 1986 8.8 91 0.17397 0.0780 24513 1912 8.6 92 0.18726 0.0811 22601 1832 8.3 93 0.20094 0.0842 20769 1748 8.0 94 0.21497 0.0873 19022 1660 7.7 95 0.22928 0.0904 17362 1569 7.5 96 0.24381 0.0935 15793 1476 7.2 97 0.25850 0.0966 14316 1383 7.0 98 0.27327 0.0997 12934 1289 6.7 99 0.28805 0.1027 116	0.0602 37287 2246 10.4 86 0.11494 34407 0.0631 35041 2210 10.1 87 0.12565 30453 0.0660 32831 2166 9.8 88 0.13694 26626 0.0689 30665 2113 9.4 89 0.14877 22980 0.0719 28552 2053 9.1 90 0.16113 19561 0.0749 26499 1986 8.8 91 0.17397 16410 0.0780 24513 1912 8.6 92 0.18726 13555 0.0811 22601 1832 8.3 93 0.20094 11017 0.0842 20769 1748 8.0 94 0.21497 8803 0.0873 19022 1660 7.7 95 0.22928 6911 0.0904 17362 1569 7.5 96 0.24381 5326 0.0935 15793 1476 7.2 97 0.25850 4028 0.0997 12934 1289 <t< th=""><th>0.0602 37287 2246 10.4 86 0.11494 34407 3955 0.0631 35041 2210 10.1 87 0.12565 30453 3826 0.0660 32831 2166 9.8 88 0.13694 26626 3646 0.0689 30665 2113 9.4 89 0.14877 22980 3419 0.0719 28552 2053 9.1 90 0.16113 19561 3152 0.0749 26499 1986 8.8 91 0.17397 16410 2855 0.0780 24513 1912 8.6 92 0.18726 13555 2538 0.0811 22601 1832 8.3 93 0.20094 11017 2214 0.0842 20769 1748 8.0 94 0.21497 8803 1892 0.0873 19022 1660 7.7 95 0.22928 6911 1584 0.0904 17362 1569 7.5 96 0.24381 5326 1299 0.0</th></t<>	0.0602 37287 2246 10.4 86 0.11494 34407 3955 0.0631 35041 2210 10.1 87 0.12565 30453 3826 0.0660 32831 2166 9.8 88 0.13694 26626 3646 0.0689 30665 2113 9.4 89 0.14877 22980 3419 0.0719 28552 2053 9.1 90 0.16113 19561 3152 0.0749 26499 1986 8.8 91 0.17397 16410 2855 0.0780 24513 1912 8.6 92 0.18726 13555 2538 0.0811 22601 1832 8.3 93 0.20094 11017 2214 0.0842 20769 1748 8.0 94 0.21497 8803 1892 0.0873 19022 1660 7.7 95 0.22928 6911 1584 0.0904 17362 1569 7.5 96 0.24381 5326 1299 0.0

ANNEXE 2 : Estimations des paramètres du modèle Lee et Carter

Tableau II-1 : Alpha estimé et alpha ajusté (H : hommes ; F : femmes)

Age	Alpha H	Alpha_ ajuste	AlphaF	Alpha_ ajusteF	Age	Alpha H	Alpha_ ajuste	AlphaF	Alpha_ ajusteF
0	2 /10	H 2 422	2 594		20		H 6 154	6.405	
0	-3,418	-3,423	-3,584	-3,584	39	-6,154	-6,154	-6,405	-6,405
1	-5,632	-5,641	-5,624	-5,625	40	-6,052	-6,052	-6,299	-6,299
2	-6,348	-6,353	-6,136	-6,137	41	-5,894	-5,895	-6,322	-6,322
3	-6,692	-6,698	-6,548	-6,549	42	-5,857	-5,858	-6,298	-6,299
4	-6,978	-6,983	-6,854	-6,854	43	-5,881	-5,881	-6,102	-6,102
5	-6,996	-7,000	-7,219	-7,220	44	-5,616	-5,619	-6,072	-6,072
6	-7,189	-7,193	-7,391	-7,391	45	-5,655	-5,656	-5,945	-5,946
7	-7,264	-7,268	-7,379	-7,380	46	-5,496	-5,498	-5,899	-5,900
8	-7,440	-7,445	-7,566	-7,567	47	-5,503	-5,504	-5,913	-5,913
9	-7,330	-7,334	-7,516	-7,516	48	-5,275	-5,278	-5,854	-5,854
10	-7,502	-7,504	-7,800	-7,800	49	-5,310	-5,311	-5,815	-5,815
11	-7,547	-7,549	-7,730	-7,731	50	-5,181	-5,181	-5,560	-5,561
12	-7,466	-7,469	-7,711	-7,711	51	-5,159	-5,159	-5,666	-5,666
13	-7,328	-7,332	-7,690	-7,691	52	-5,044	-5,044	-5,514	-5,514
14	-7,194	-7,198	-7,605	-7,606	53	-4,834	-4,836	-5,458	-5,459
15	-7,156	-7,157	-7,632	-7,632	54	-4,717	-4,720	-5,209	-5,210
16	-7,044	-7,045	-7,655	-7,656	55	-4,617	-4,619	-5,166	-5,166
17	-6,925	-6,927	-7,346	-7,347	56	-4,601	-4,601	-5,143	-5,144
18	-6,839	-6,841	-7,398	-7,399	57	-4,631	-4,630	-5,065	-5,065
19	-6,748	-6,751	-7,599	-7,599	58	-4,444	-4,445	-4,856	-4,857
20	-6,663	-6,665	-7,338	-7,338	59	-4,317	-4,317	-4,695	-4,695
21	-6,769	-6,768	-7,273	-7,273	60	-4,162	-4,164	-4,616	-4,616
22	-6,676	-6,677	-7,136	-7,137	61	-4,184	-4,183	-4,556	-4,556
23	-6,802	-6,802	-7,421	-7,421	62	-4,127	-4,126	-4,494	-4,494
24	-6,580	-6,582	-7,333	-7,333	63	-3,963	-3,964	-4,438	-4,438
25	-6,539	-6,542	-7,101	-7,101	64	-3,826	-3,827	-4,092	-4,092
26	-6,624	-6,625	-7,198	-7,198	65	-3,685	-3,687	-3,974	-3,974
27	-6,509	-6,511	-7,127	-7,128	66	-3,689	-3,689	-3,994	-3,995
28	-6,538	-6,540	-7,003	-7,003	67	-3,695	-3,693	-4,001	-4,001
29	-6,595	-6,595	-7,007	-7,007	68	-3,534	-3,535	-3,862	-3,862
30	-6,358	-6,361	-6,832	-6,832	69	-3,325	-3,328	-3,612	-3,612
31	-6,424	-6,425	-6,905	-6,905	70	-3,208	-3,211	-3,431	-3,432
32	-6,314	-6,315	-6,828	-6,828	71	-3,238	-3,238	-3,444	-3,444
33	-6,270	-6,272	-6,763	-6,763	72	-3,155	-3,155	-3,447	-3,447
34	-6,436	-6,436	-6,657	-6,658	73	-2,998	-2,998	-3,285	-3,285
35	-6,328	-6,329	-6,776	-6,776	74	-2,891	-2,892	-2,980	-2,980
36	-6,259	-6,259	-6,547	-6,548	75	-2,633	-2,637	-2,754	-2,754
37	-6,169	-6,171	-6,550	-6,550	76	-2,611	-2,613	-2,843	-2,844
38	-6,111	-6,113	-6,542	-6,543	77	-2,734	-2,733	-2,853	-2,853

Tableau II-2: Béta estimé hommes et femmes

Age	BetaH	BetaF	Age	BetaH	BetaF
0	0,036	0,017	39	0,002	0,010
1	0,068	0,035	40	0,001	0,016
2	0,043	0,038	41	0,012	0,008
3	0,048	0,037	42	0,007	0,009
4	0,042	0,032	43	0,001	0,010
5	0,031	0,015	44	0,022	0,007
6	0,029	0,009	45	0,009	0,016
7	0,030	0,026	46	0,016	0,012
8	0,032	0,023	47	0,007	0,008
9	0,027	0,023	48	0,023	0,006
10	0,012	0,009	49	0,006	0,003
11	0,014	0,023	50	0,000	0,009
12	0,026	0,019	51	-0,004	0,003
13	0,026	0,018	52	-0,001	0,007
14	0,032	0,012	53	0,010	0,007
15	0,006	0,014	54	0,017	0,019
16	0,007	0,007	55	0,015	0,008
17	0,013	0,026	56	0,004	0,004
18	0,012	0,016	57	-0,009	0,001
19	0,022	0,004	58	0,003	0,010
20	0,018	0,017	59	0,003	0,015
21	-0,004	0,016	60	0,011	0,006
22	0,003	0,021	61	-0,004	0,005
23	-0,005	0,006	62	-0,011	0,002
24	0,016	0,008	63	0,006	0,000
25	0,019	0,022	64	0,008	0,014
26	0,011	0,012	65	0,013	0,016
27	0,019	0,012	66	-0,001	0,006
28	0,011	0,019	67	-0,014	-0,002
29	0,001	0,016	68	0,000	0,002
30	0,024	0,013	69	0,020	0,014
31	0,011	0,017	70	0,023	0,017
32	0,012	0,014	71	0,002	0,009
33	0,018	0,017	72	-0,002	-0,003
34	-0,006	0,023	73	0,006	0,001
35	0,014	0,003	74	0,012	0,014
36	0,001	0,013	75	0,031	0,019
37	0,018	0,015	76	0,018	0,007
38	0,013	0,017	77	-0,013	-0,002

Tableau II-3: K estimé et K ajusté homes et femmes

Année	KH_estime	KH_ajuste	K_ajustéF	K_estimeF
1984	8,406	8,656	21,280	21,930
1985	11,354	9,690	21,506	23,433
1986	10,068	9,057	20,455	20,535
1987	7,489	6,973	17,101	15,309
1988	3,139	2,833	10,777	7,324
1989	3,390	4,057	8,845	4,081
1990	6,074	6,876	5,990	9,260
1991	5,774	6,540	7,793	7,078
1992	2,235	3,817	6,748	3,815
1993	0,738	4,383	6,721	5,191
1994	-0,231	-0,166	-1,579	1,088
1995	-1,844	-0,135	-1,923	-2,358
1996	-3,939	-5,124	-9,904	-12,287
1997	-4,783	-4,172	-6,557	-10,056
1998	-6,869	-6,394	-14,959	-16,519
1999	-7,723	-6,429	-13,411	-14,755
2000	-7,306	-9,999	-19,966	-16,316
2001	-9,610	-11,446	-23,409	-17,787
2002	-9,305	-10,370	-18,441	-15,479
2003	-7,058	-8,648	-17,064	-13,487

ANNEXE 3 : Extrapolation de la variable tendancielle Kt

KF_ajuste

Date: 01/17/13 Time: 09:19 Sample: 1984 2061

Included observations: 20

Autocorrelation	Partial Correlation		AC	PAC	Q-Stat	Prob
. *****	. *****	1	0.868	0.868	17.462	0.000
. ****	.* .	2	0.730	-0.097	30.493	0.000
. ****	.** .	3	0.531	-0.329	37.791	0.000
. ***	. * .	4	0.379	0.081	41.734	0.000
. **.	. * .	5	0.264	0.111	43.778	0.000
. * .	.** .	6	0.147	-0.213	44.460	0.000
. .	.* .	7	0.044	-0.108	44.525	0.000
. * .	. * .	8	-0.094	-0.168	44.846	0.000
. *	. [.]	9	-0.198	0.006	46.419	0.000
.** .	. .	10	-0.297	-0.064	50.299	0.000
.** .		11	-0.334	0.048	55.744	0.000
***	.* .	12	-0.376	-0.176	63.531	0.000

Null Hypothesis: KF_AJUSTE has a unit root

Exogenous: Constant, Linear Trend

Lag Length: 2 (Automatic - based on SIC, maxlag=4)

		t-Statistic	Prob.*
Augmented Dickey-Ful	ler test statistic	-2.858758	0.1980
Test critical values:	1% level	-4.616209	
	5% level	-3.710482	
	10% level	-3.297799	

^{*}MacKinnon (1996) one-sided p-values.

Warning: Probabilities and critical values calculated for 20 observations and may not be accurate for a sample size of 17

Augmented Dickey-Fuller Test Equation Dependent Variable: D(KF_AJUSTE)

Method: Least Squares Date: 01/17/13 Time: 10:50 Sample (adjusted): 1987 2003

Included observations: 17 after adjustments

Variable	Coefficient	Std. Error	t-Statistic	Prob.
KF_AJUSTE(-1) D(KF_AJUSTE(-1)) D(KF_AJUSTE(-2)) C @TREND(1984)	-1.306429 0.598695 0.671203 31.08833 -2.911029	0.456992 0.387355 0.296674 12.65546 1.111346	-2.858758 1.545597 2.262423 2.456515 -2.619372	0.0144 0.1482 0.0430 0.0302 0.0224
R-squared Adjusted R-squared S.E. of regression Sum squared resid Log likelihood F-statistic Prob(F-statistic)	0.550578 0.400770 3.060017 112.3645 -40.17450 3.675238 0.035461	Mean depender S.D. dependent Akaike info crit Schwarz criterie Hannan-Quinn Durbin-Watson	nt var var derion on criter.	-2.037097 3.953004 5.314647 5.559710 5.339007 1.872010

D(KF_ajuste)

Date: 01/17/13 Time: 09:21 Sample: 1984 2061 Included observations: 19

Autocorrelation	Partial Correlation		AC	PAC	Q-Stat	Prob
.** .	.** .	1	-0.335	-0.335	2.4804	0.115
. **.	. * .	2	0.277	0.186	4.2815	0.118
*** .	*** .	3	-0.473	-0.392	9.8724	0.020
. * .	.* .	4	0.132	-0.159	10.335	0.035
.* .	. .	5	-0.126	0.022	10.791	0.056
. **.		6	0.224	0.037	12.328	0.055
. * .	.* .	7	-0.103	-0.069	12.682	0.080
. .	. * .	8	-0.003	-0.132	12.682	0.123
. * .	.* .	9	-0.199	-0.174	14.267	0.113
. .	. * .	10	0.046	-0.082	14.363	0.157
. .	. .	11	0.042	0.023	14.450	0.209
. * .		12	0.148	0.032	15.694	0.206

Null Hypothesis: D(KF_AJUSTE) has a unit root Exogenous: Constant, Linear Trend

		t-Statistic	Prob.*
Augmented Dickey-Fu Test critical values:	ller test statistic 1% level	-5.665004 -4.571559	0.0013
	5% level 10% level	-3.690814 -3.286909	

^{*}MacKinnon (1996) one-sided p-values.

Warning: Probabilities and critical values calculated for 20 observations and may not be accurate for a sample size of 18

Augmented Dickey-Fuller Test Equation Dependent Variable: D(KF_AJUSTE,2) Method: Least Squares Date: 01/17/13 Time: 09:23 Sample (adjusted): 1986 2003 Included observations: 18 after adjustments

Variable	Coefficient	Std. Error t-Statistic		Prob.		
D(KF_AJUSTE(-1))	-1.354383	0.239079 -5.665004		0.0000		
@TREND(1984)	-4.052907 0.131015	2.064872 0.171002	-1.962788 0.766160	0.0685 0.4555		
R-squared	0.684631	Mean dependent var		0.031646		
Adjusted R-squared	0.642581	S.D. dependent	6.295288			
S.E. of regression	3.763606	Akaike info cri	5.639644			
Sum squared resid	212.4710	Schwarz criterion		5.788039		
Log likelihood	-47.75680	Hannan-Quinn criter.		Hannan-Quinn criter.		5.660106
F-statistic	16.28164	Durbin-Watson stat		1.840261		
Prob(F-statistic)	0.000174					

Null Hypothesis: D(KF_AJUSTE) has a unit root

Exogenous: Constant

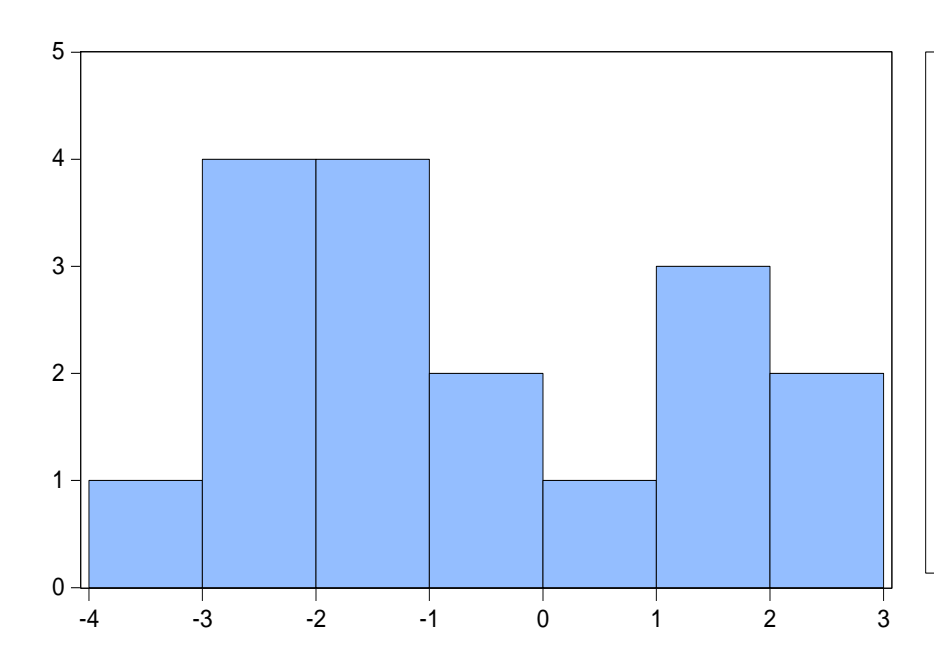
Lag Length: 0 (Automatic - based on SIC, maxlag=4)

		t-Statistic	Prob.*
Augmented Dickey-Ful Test critical values:	ler test statistic 1% level 5% level 10% level	-5.729183 -3.857386 -3.040391 -2.660551	0.0002

^{*}MacKinnon (1996) one-sided p-values.

Warning: Probabilities and critical values calculated for 20 observations and may not be accurate for a sample size of 18

Test de normalité des résidus



Series: Residuals Sample 1987 2003 Observations 17				
Mean	-0.452102			
Median	-1.036359			
Maximum	2.430906			
Minimum	-3.176225			
Std. Dev.	1.916093			
Skewness	0.248478			
Kurtosis	1.683482			
Jarque-Bera	1.402631			
Probability	0.495933			

Skewness=0.24 Kurtosis=1.68

Jarque-Bera=0.495>0.05 Donc les résidus suivent la loi normale

Test d'hétéroscédasticité

Heteroskedasticity Test: White

F-statistic	1.674833	Prob. F(2,14)	0.2228
Obs*R-squared	3.282157	Prob. Chi-Square(2)	0.1938
Scaled explained SS	0.673024	Prob. Chi-Square(2)	0.7143

Test Equation:

Dependent Variable: RESID^2 Method: Least Squares Date: 01/17/13 Time: 14:31 Sample: 1987 2003 Included observations: 17

Collinear test regressors dropped from specification

Variable	Coefficient	Std. Error t-Statis		Prob.
C GRADF_01^2 GRADF_03^2	3.286405 -8.10E-08 0.001791	0.778944 4.219051 4.75E-08 -1.707805 0.001049 1.707581		0.0009 0.1097 0.1098
R-squared Adjusted R-squared S.E. of regression Sum squared resid Log likelihood F-statistic Prob(F-statistic)	0.193068 0.077792 2.817169 111.1102 -40.07908 1.674833 0.222771	Mean dependent var S.D. dependent var Akaike info criterion Schwarz criterion Hannan-Quinn criter. Durbin-Watson stat		3.659843 2.933583 5.068127 5.215165 5.082743 2.262476

La probabilité du test de White est de 0.1938 > 5%, ce qui veut dire qu'on accepte l'hypothèse nulle d'homoscédasticité des erreurs Test d'auto-corrélation des erreurs

Date: 01/17/13 Time: 14:41 Sample: 1987 2003 Included observations: 17 Q-statistic probabilities adjusted for 2 ARMA term(s)

Autocorrelation	Partial Correlation		AC	PAC	Q-Stat	Prob
. .	. .	1	-0.024	-0.024	0.0114	
. * .	. * .	2	-0.095	-0.096	0.2073	
. .	. .	3	0.060	0.056	0.2914	0.589
. .	. .	4	-0.051	-0.059	0.3572	0.836
. * .	. * .	5	0.135	0.147	0.8509	0.837
. .	. .	6	0.047	0.038	0.9170	0.922
. * .	. * .	7	-0.163	-0.131	1.7733	0.880
. .	. .	8	-0.041	-0.059	1.8322	0.934
. * .	. * .	9	-0.160	-0.192	2.8721	0.897
. * .	. * .	10	-0.118	-0.144	3.5172	0.898
. ** .	. * .	11	0.242	0.202	6.6724	0.671
. ** .	. * .	12	-0.219	-0.202	9.7723	0.461

Toutes les probabilités sont supérieures à 0.05, donc il n'y a pas auto-corrélation des erreurs.

Conclusion : On choisit le modèle ARIMA(1,2,1) qui présente les statistiques d'information : BIC et AIC les moins élevées.

KH_ajuste

Date: 01/17/13 Time: 14:49

Sample: 1984 2061 Included observations: 20

Autocorrelation	Partial Correlation		AC	PAC	Q-Stat	Prob
. *****	. *****	1	0.868	0.868	17.452	0.000
. *****	. * .	2	0.710	-0.177	29.775	0.000
. ****	.** .	3	0.522	-0.209	36.825	0.000
. ***	. * .	4	0.388	0.131	40.971	0.000
. **.	. [.]	5	0.284	0.004	43.341	0.000
. * .	.** .	6	0.166	-0.228	44.212	0.000
. .	.** .	7	0.020	-0.207	44.226	0.000
. * .	. * .	8	-0.132	-0.071	44.860	0.000
.** .	. .	9	-0.239	0.054	47.141	0.000
*** .	.** .	10	-0.348	-0.268	52.471	0.000
*** .	. * .	11	-0.376	0.158	59.397	0.000
*** .	. [.]	12	-0.395	0.007	67.990	0.000

La série n'est pas stationnaire

Null Hypothesis: D(KH_AJUSTE) has a unit root

Exogenous: Constant

Lag Length: 0 (Automatic - based on SIC, maxlag=4)

		t-Statistic	Prob.*
Augmented Dickey-Fuller test statistic		-4.795704	0.0015
Test critical values:	1% level 5% level 10% level	-3.857386 -3.040391 -2.660551	

^{*}MacKinnon (1996) one-sided p-values.

Warning: Probabilities and critical values calculated for 20 observations and may not be accurate for a sample size of 18

Augmented Dickey-Fuller Test Equation Dependent Variable: D(KH_AJUSTE,2)

Method: Least Squares Date: 01/17/13 Time: 14:53 Sample (adjusted): 1986 2003

Included observations: 18 after adjustments

Variable	Coefficient	Std. Error	t-Statistic	Prob.
D(KH_AJUSTE(-1)) C	-1.198156 -1.228245	0.249839 -4.795704 0.611046 -2.010071		0.0002 0.0616
R-squared Adjusted R-squared S.E. of regression Sum squared resid Log likelihood F-statistic Prob(F-statistic)	0.589731 0.564089 2.337826 87.44691 -39.76683 22.99878 0.000198	Mean dependent var S.D. dependent var Akaike info criterion Schwarz criterion Hannan-Quinn criter. Durbin-Watson stat		0.038234 3.540897 4.640759 4.739690 4.654401 1.914441

KH_ajusté est stationnaire en différence première